IMAGERIE DES GLANDES ENDOCRINES THYROÏDE-PARATHYROÏDES SURRENALES

Emmanuel Coche

Département d'Imagerie Médicale

Cliniques Universitaires St-Luc

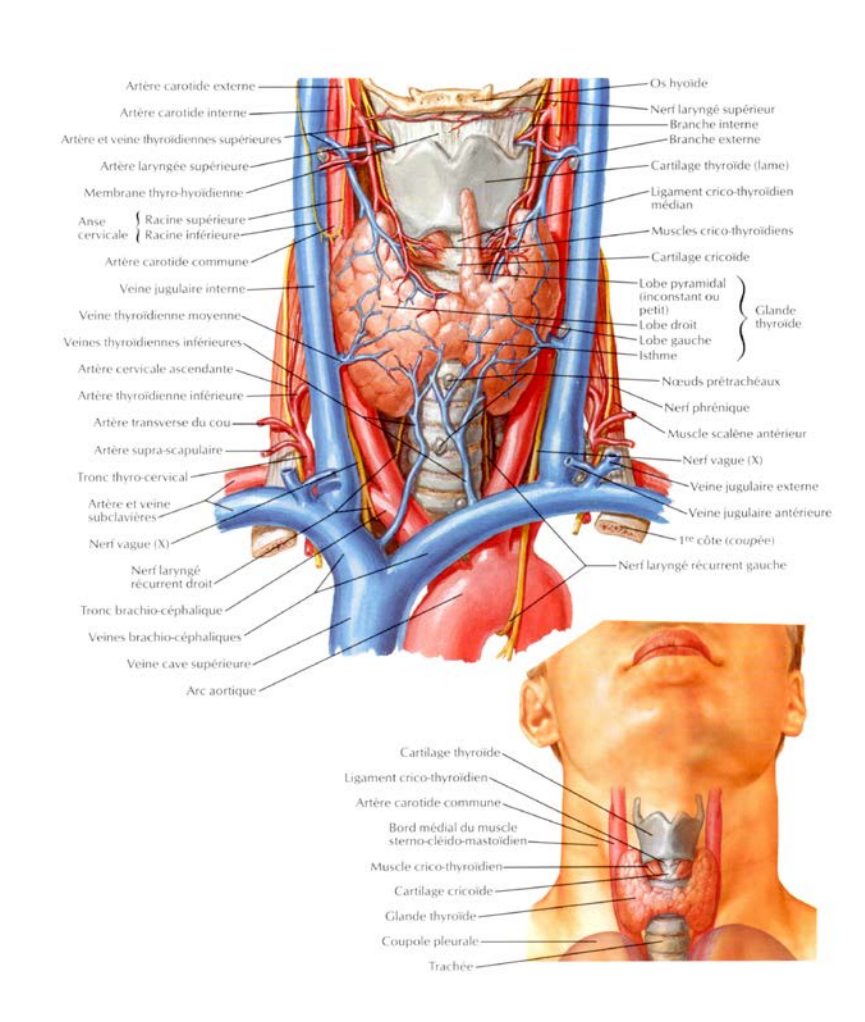
E-mail:Emmanuel.coche@uclouvain.be

Vendredi 21 février 2020

Imagerie de la thyroïde

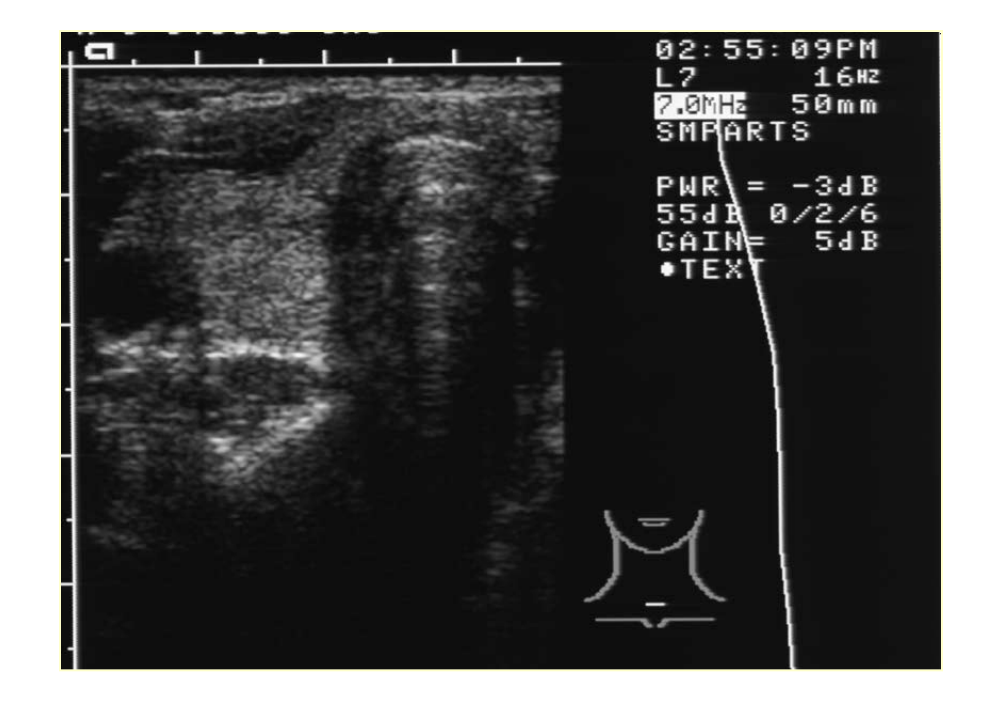
Thyroïde: rappel anatomique

- ✓ Située en avant des premiers anneaux trachéaux et des parties latérales du larynx
- ✓ Deux lobes et un isthme, situé à la jonction des 2/3 supérieurs et du 1/3 inférieur
- ✓ Dimensions d'un lobe
 - ✓ hauteur : 4 à 6 cm
 - ✓ largeur : 2 cm
 - √ épaisseur : 1.5 cm



Echographie

- Méthode
 - accessible
 - Méthode peu coûteuse
 - Méthode non invasive
- Sonde de haute fréquence: 7-12 Mhz
- Imagerie en temps réel: guidage des pcts
- Echo Doppler: apporte certains renseignements
- Echo de contraste



Place de l'échographie dans la mise au point d'un goître

- Confirmer I 'augmentation de volume glandulaire
- Détecter d'éventuelles adénomégalies
- Cartographie des nodules (nodule dominant)
- Suivi après traitement médical, pdt grossesse....
- Détecter une récidive nodulaire après chirurgie
- Extension médiastinale

Place de l'échographie dans la mise au point d'un goître

Maladie de Graves-Basedow

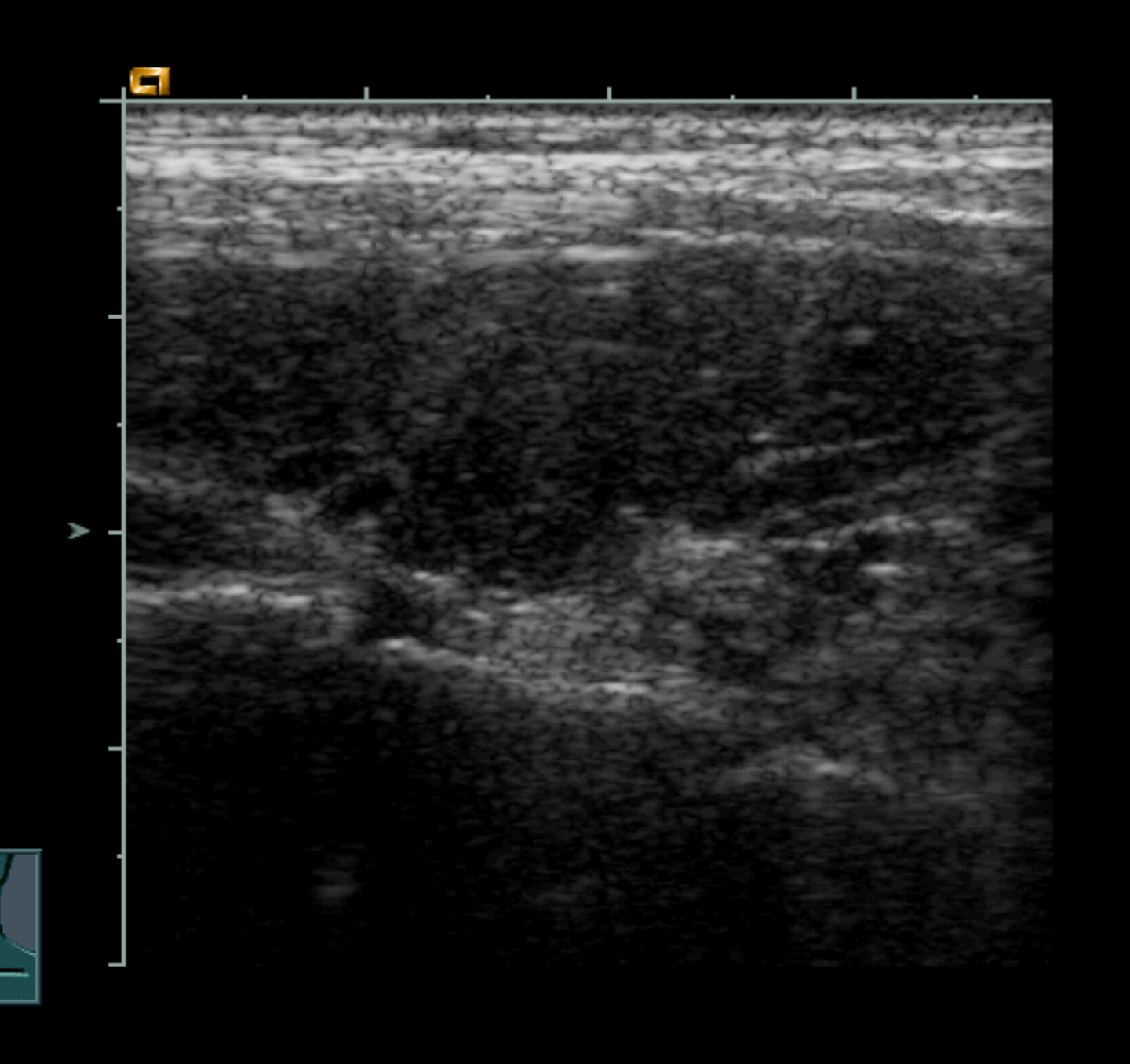
Goitre multinodulaire

Thyroïdite d 'Hashimoto

Thyroïdite infectieuse

Maladie de Graves-Basedow

- Maladie auto-immune
- Prépondérance féminine
- Hyperthyroïdisme et augmentation de volume glandulaire
- Exophtalmie
- US: parenchyme hypoéchogène
- Doppler couleur: « thyroid inferno »
- Doppler: marqueur de l'activité inflammatoire?



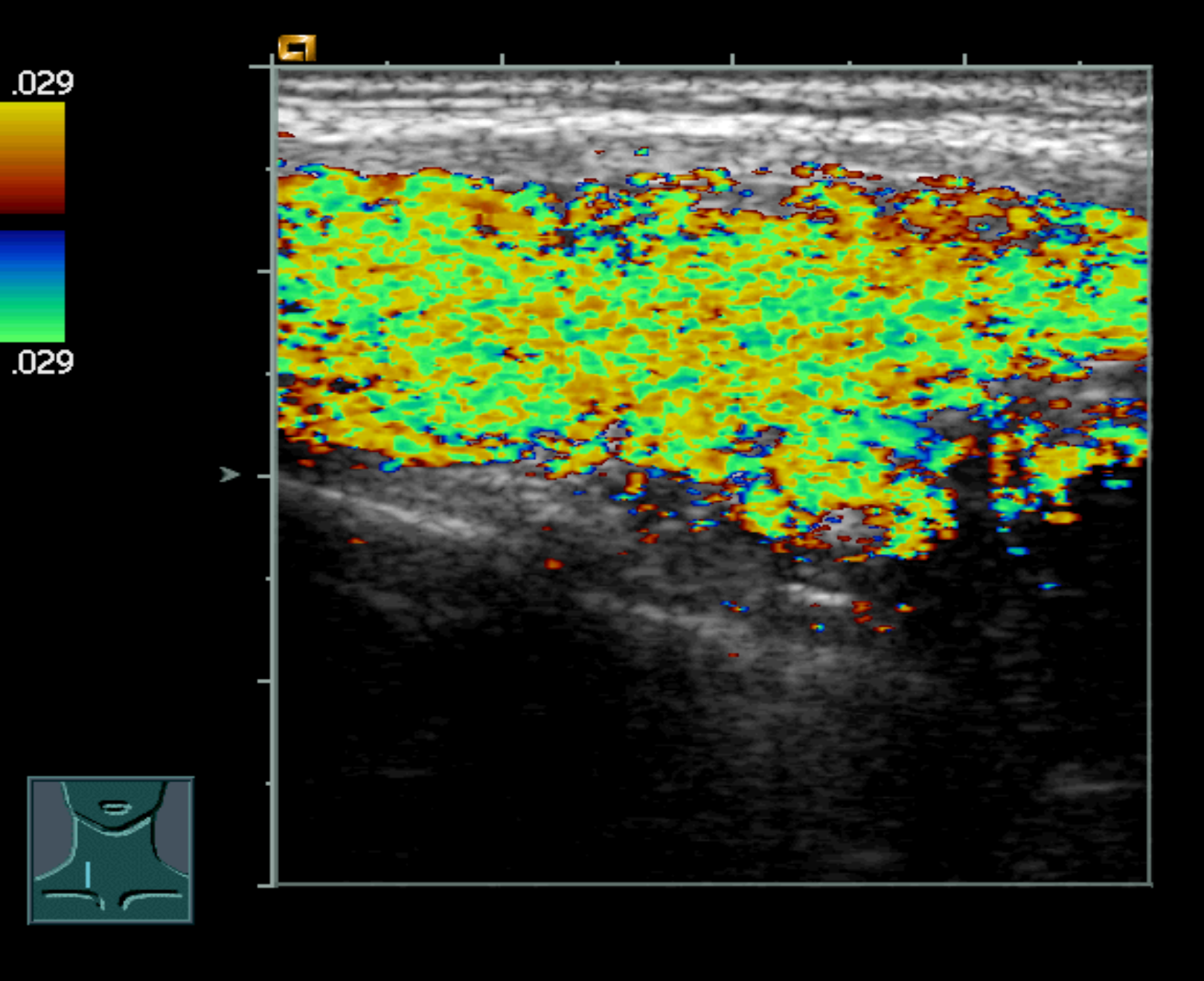
4:03:38 pm

8L5 7.0MHz Small Parts

40mm

\$1/+1/2/ 3 8dB Δ=2 80dB Gain=

Store in progress



4:03:22 pm

8L5

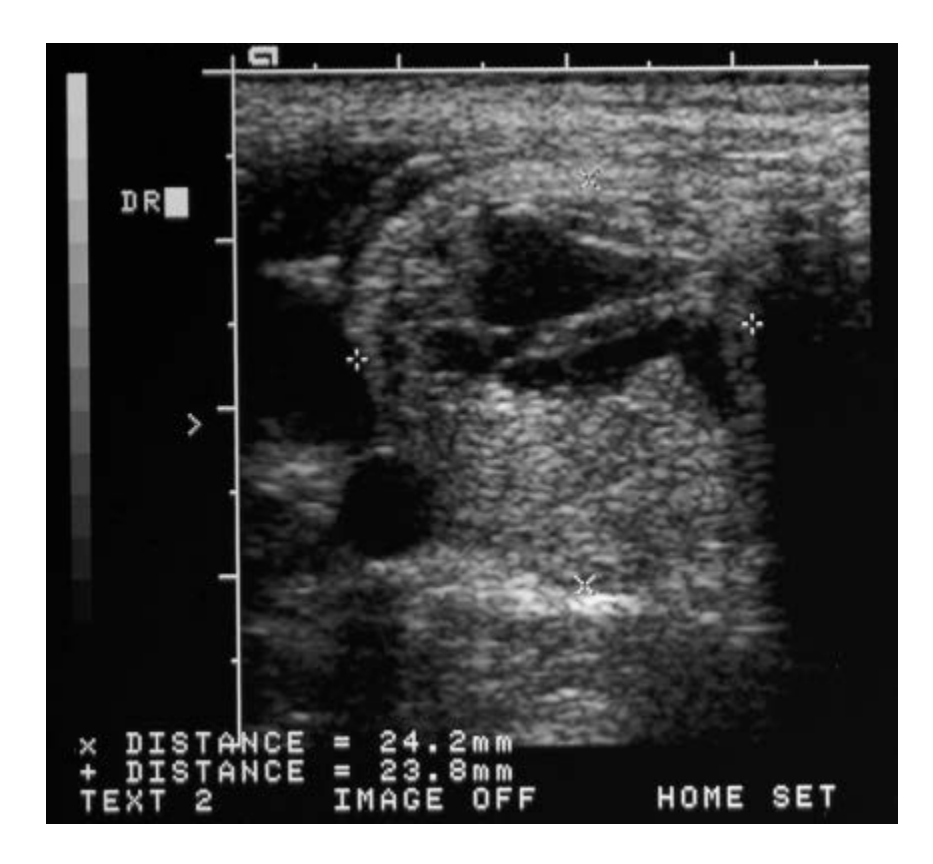
7.0MHz

40mm **Small Parts**

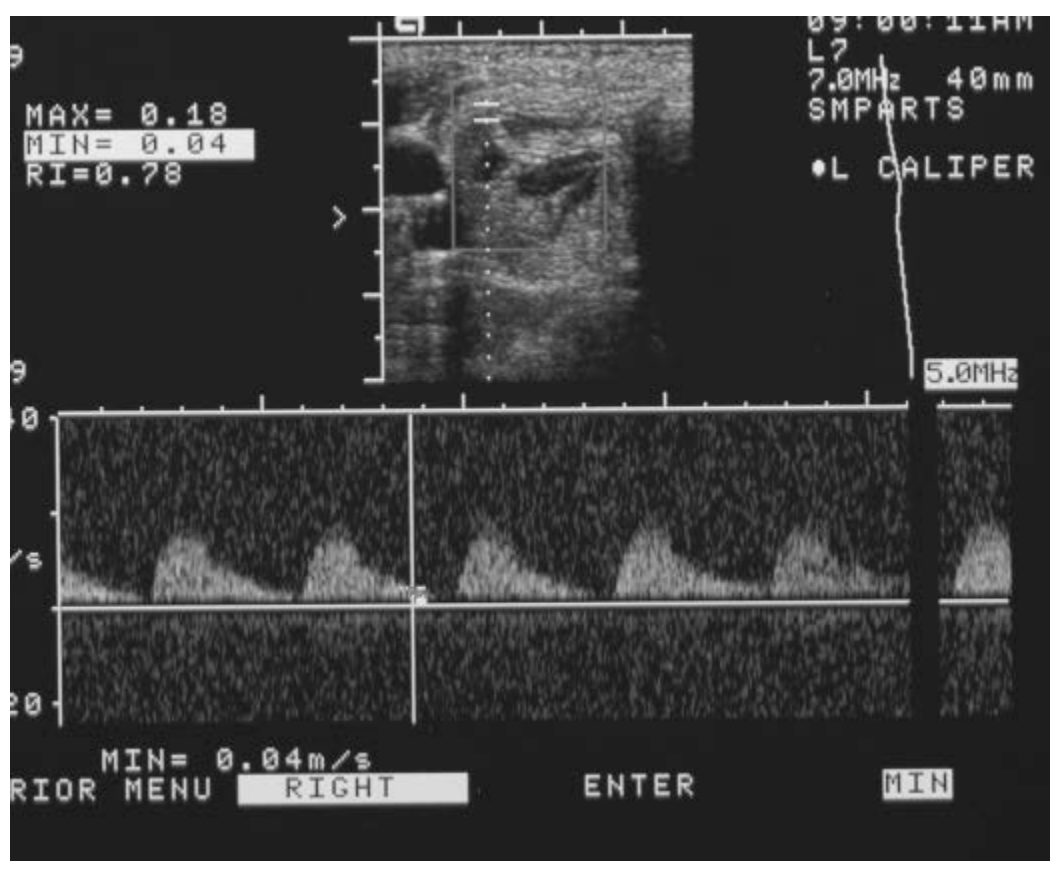
Store in progress

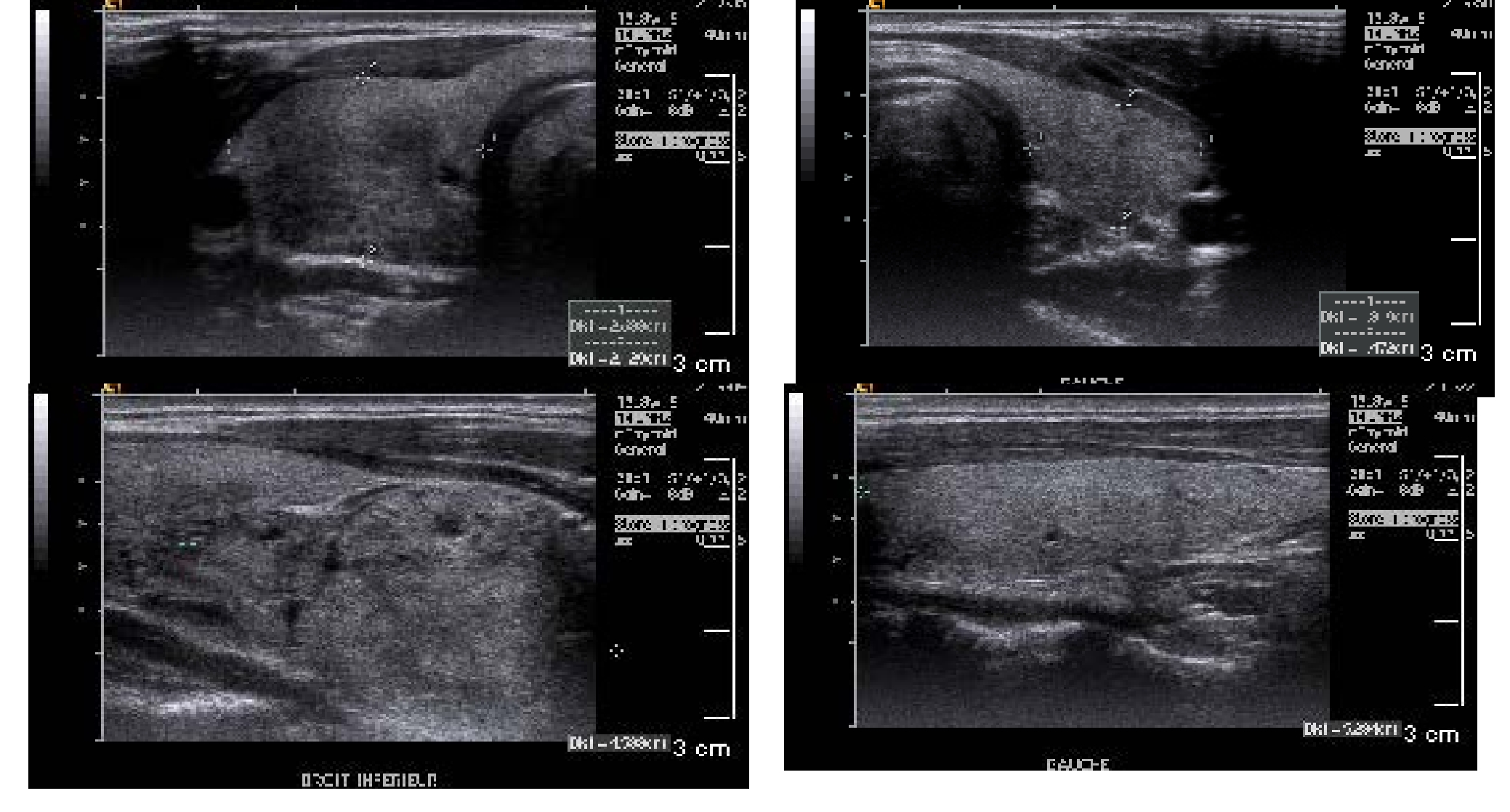
Goître multinodulaire

- Multiple nodules hyperplasiques avec nécrose,
 dégénérescence colloïde, nécrose, hémorragie
- US: multiples masses hétérogènes avec ou sans calcifications
- Doppler couleur: pas de pattern caractéristique
- Problème du nodule dominant: pas de critères formels



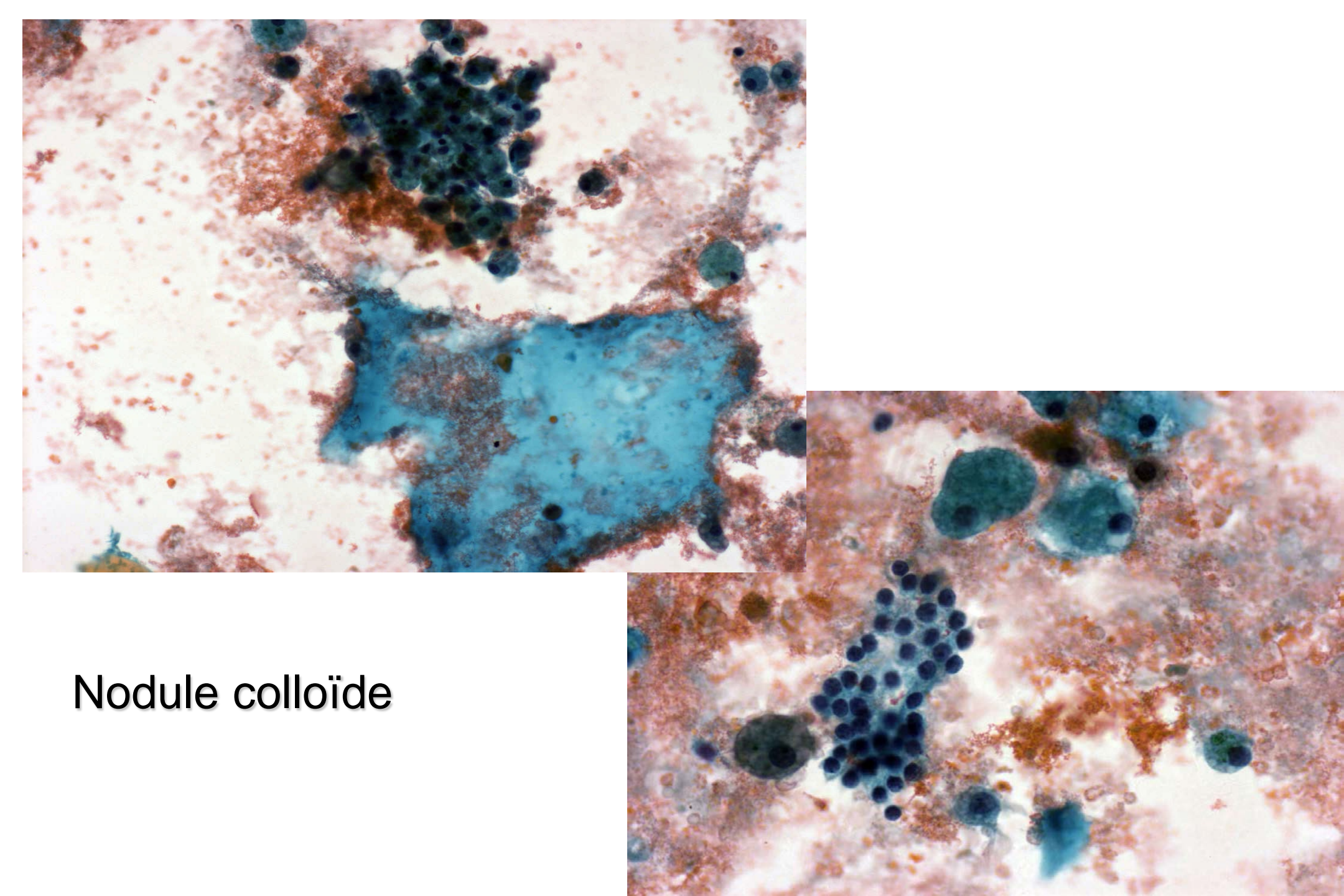
Nodule= formation ± arrondie circonscrite intra-thyroïdienne





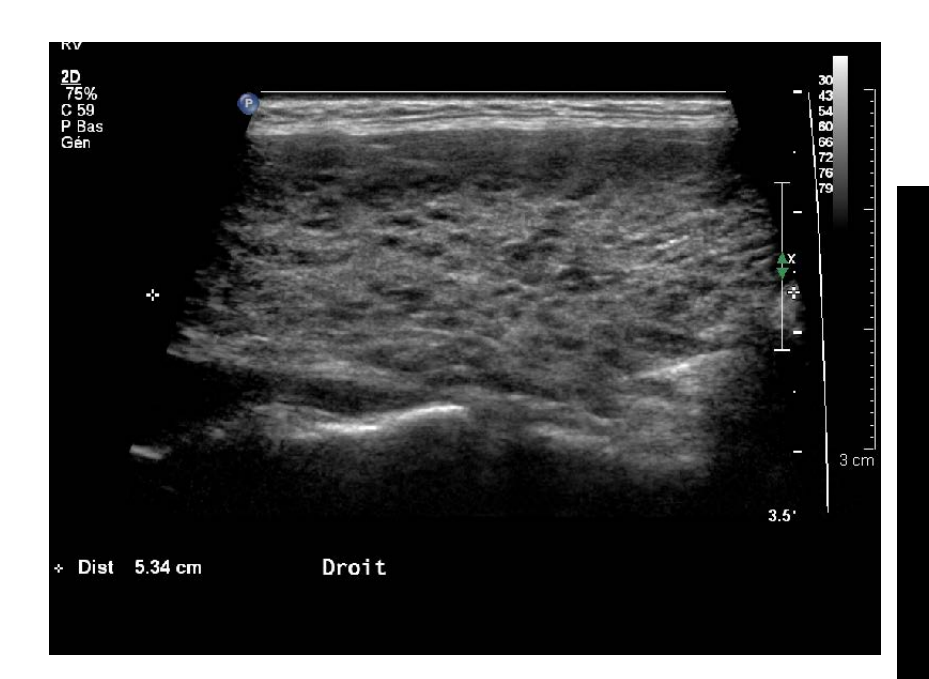
FNA: 432 GMN 42/432 (9.7%) = carcinome Sensibilité: 26% spécificité: 96% Critères cliniques prévalent Microcarcinomes!

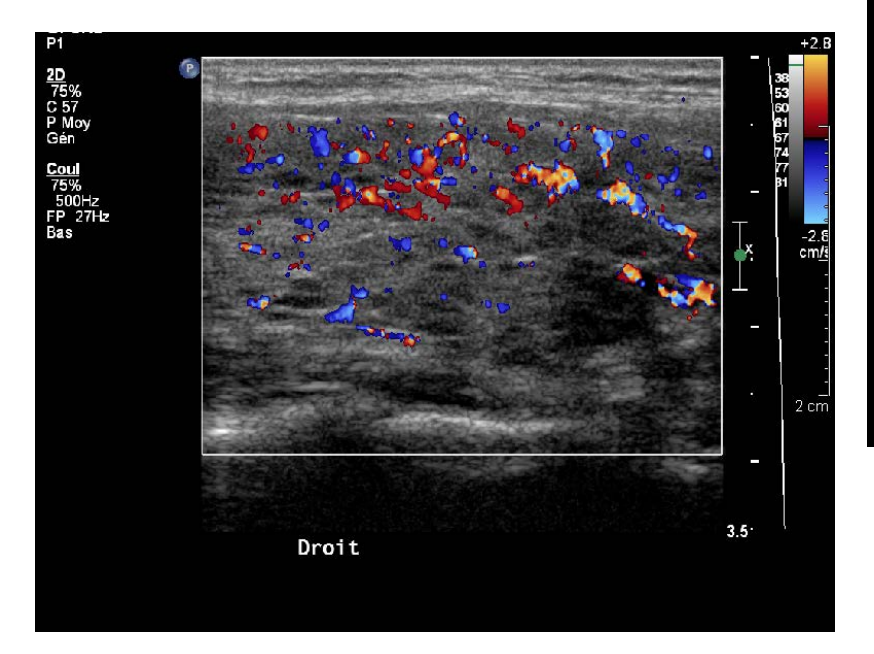
Rios A et al. Utility of fine-needle aspiration for diagnosis of carcinoma associated with multinodualr goiter. Clinical Endocrinology 2007;61(6): 732-737

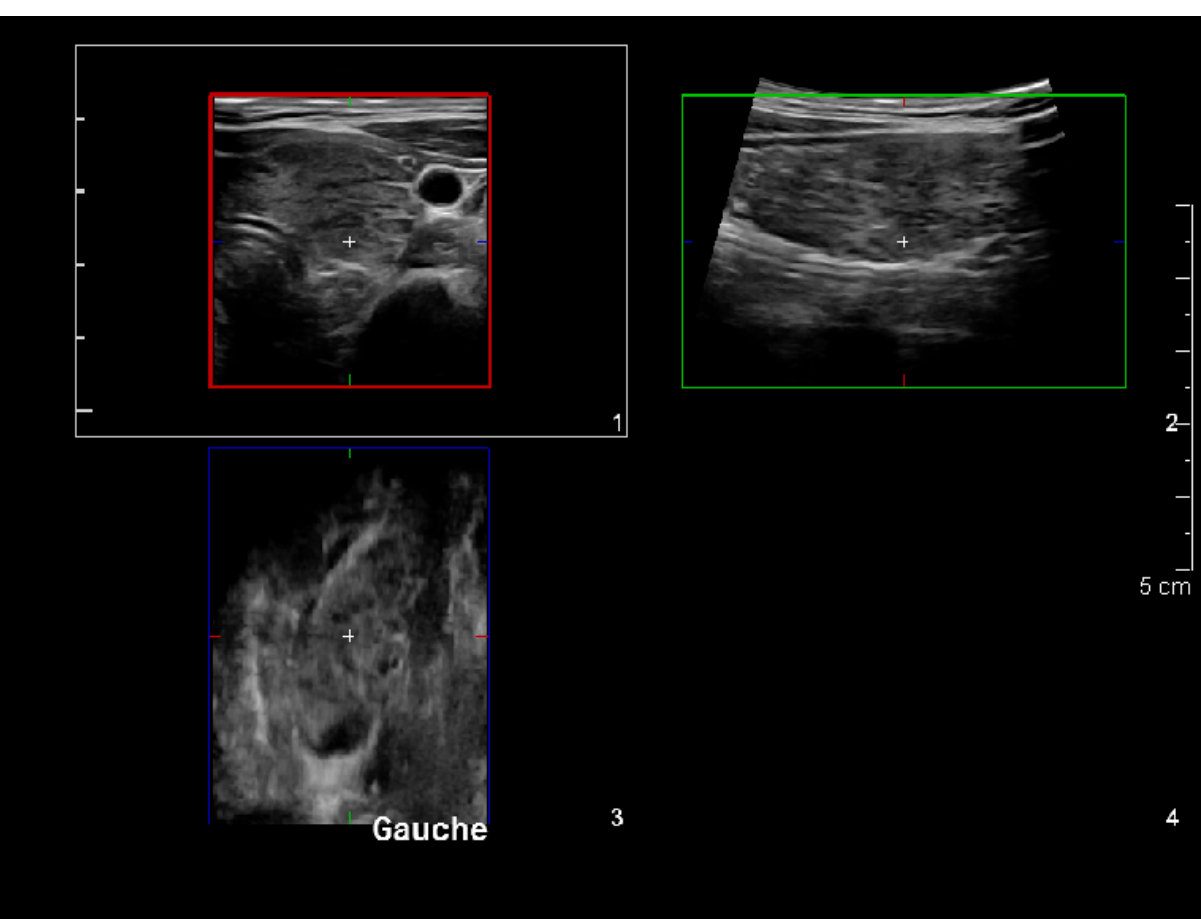


Thyroïdite d'Hashimoto

- Femme d 'âge moyen
- Glande peut être de taille normale
- Diagnostic sérologique
- ✓ US: pattern micronodulaire caractéristique (1 à 6 mm de ∅)
- Aspect « tigré »
- Doppler : pas d 'apport

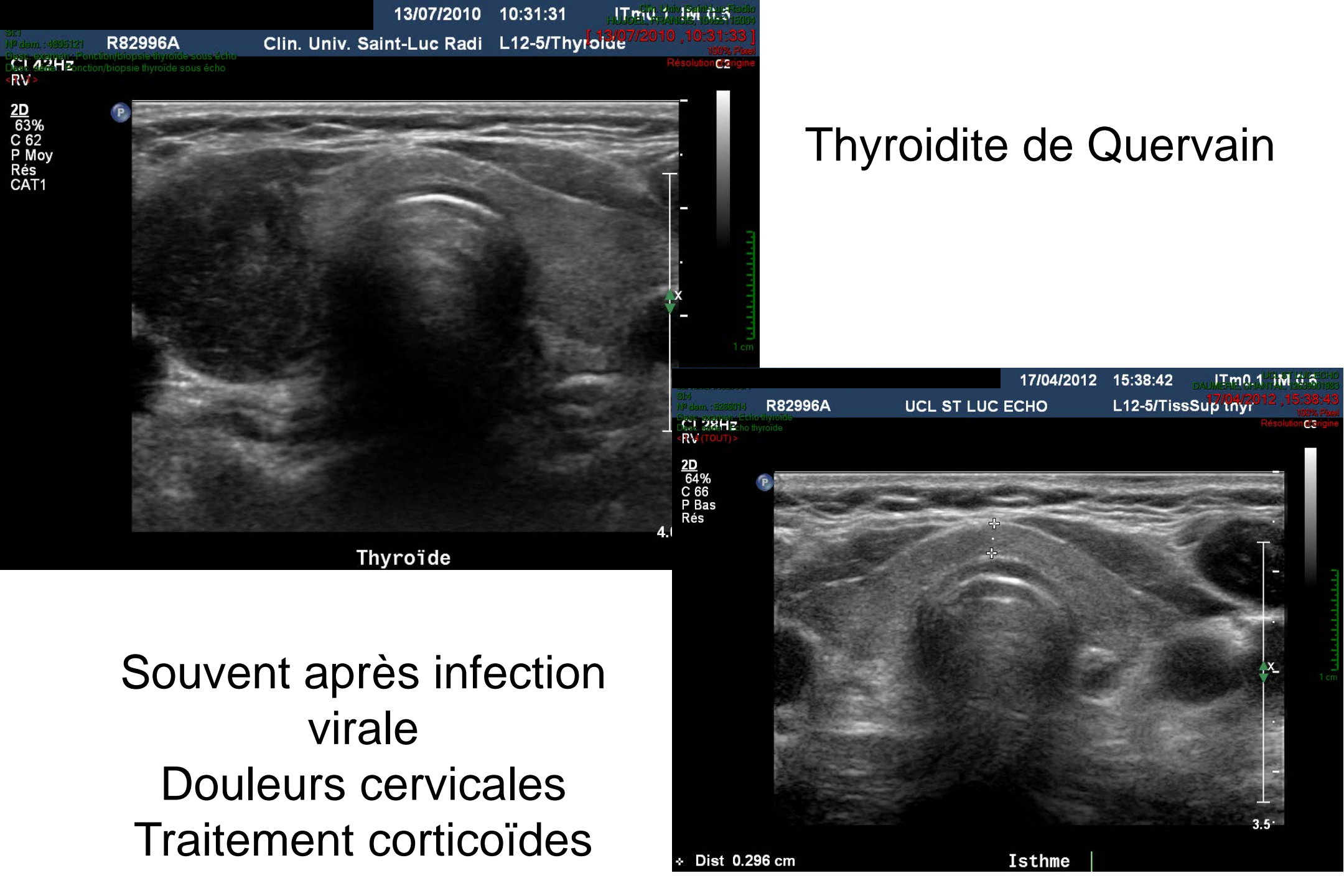






Thyroïdite infectieuse

- Pas d'aspect ultrasonographique caractéristique
- Diagnostic clinique évident
- Pas d'indication d'examen US sauf si suspicion de collection (aspiration échoguidée)



Classification TIRADS

- Thyroid Imaging Reporting and Data System (TI-RADS)
- Equivalent du système BI-RADS en imagerie mammaire
- Système standardisé d'analyse et de compte rendu
- Homogénéisation des descriptions et conduites à tenir
- Stratification quantitative du risque de malignité en pathologie thyroïdienne

Horvath E, Majlis S, Rossi R, Franco C, Niedmann JP, Castro A, Dominguez M. An ultrasonogram reporting system for thyroid nodules stratifying cancer risk for clinical management. J Clin Endocrinol Metab. 2009

May;94(5):1748-51.

Kwak JY, Han KH, Yoon JH, Moon HJ, Son EJ, Park SH, Jung HK, Choi JS, Kim BM, Kim EK.
Thyroid imaging reporting and data system for US features of nodules: a step in establishing better stratification of cancer risk. Radiology. 2011 Sep;260(3):892-9.

Classification EU-TIRADS

Table 2. EU-TIRADS categories and risk of malignancy

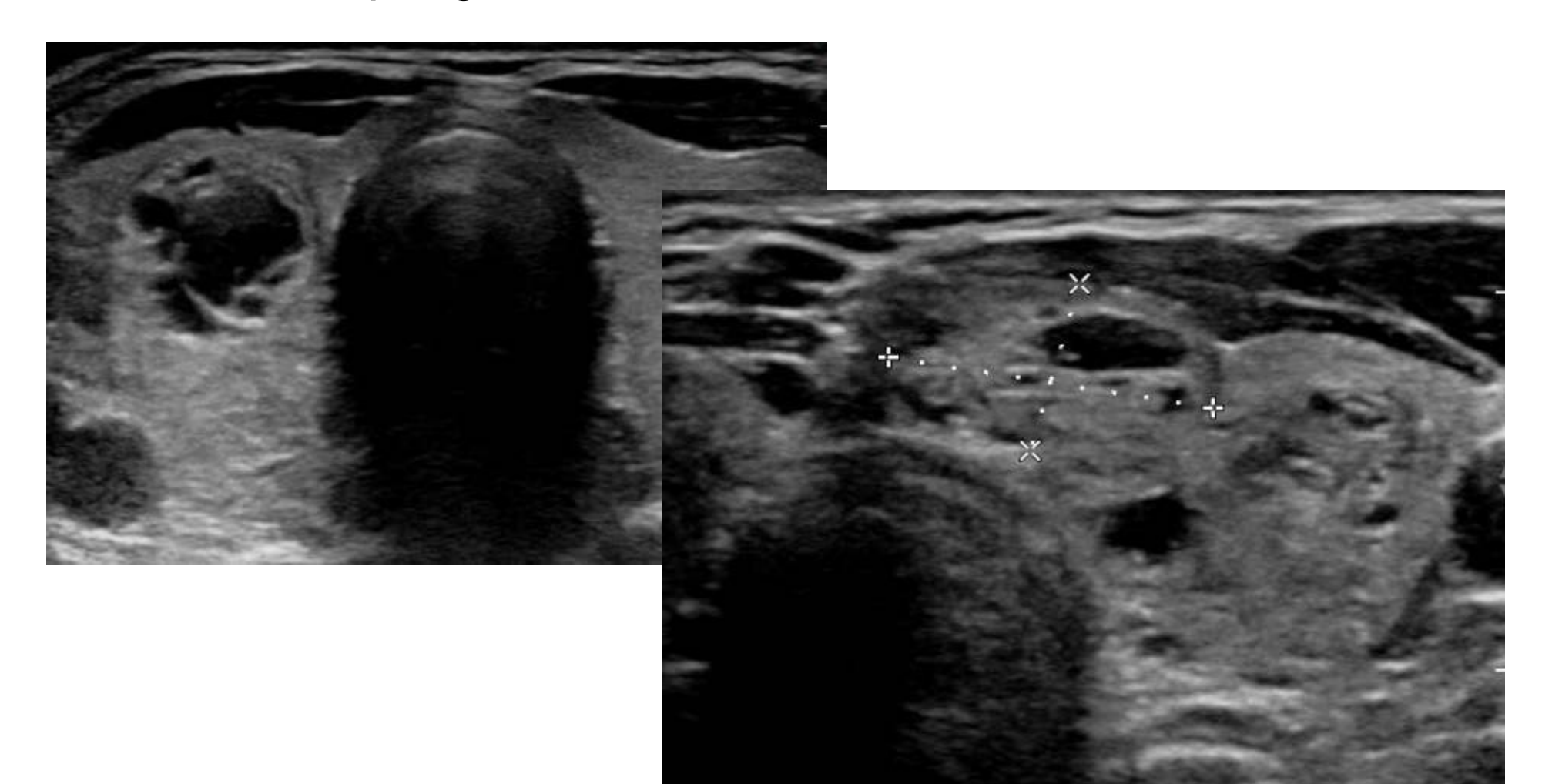
Category	US features	Malignancy risk, %
EU-TIRADS 1: normal	No nodules	None
EU-TIRADS 2: benign	Pure cyst	≅0
	Entirely spongiform	
EU-TIRADS 3: low risk	Ovoid, smooth isoechoic/hyperechoic	2-4
	No features of high suspicion	
EU-TIRADS 4: intermediate risk	Ovoid, smooth, mildly hypoechoic	6-17
	No features of high suspicion	
EU-TIRADS 5: high risk	At least 1 of the following features of high suspicion:	26-87
	– Irregular shape	
	– Irregular margins	
	 Microcalcifications 	
	 Marked hypoechogenicity (and solid) 	

- Kyste simple :
 - Anéchogène
 - avasculaire

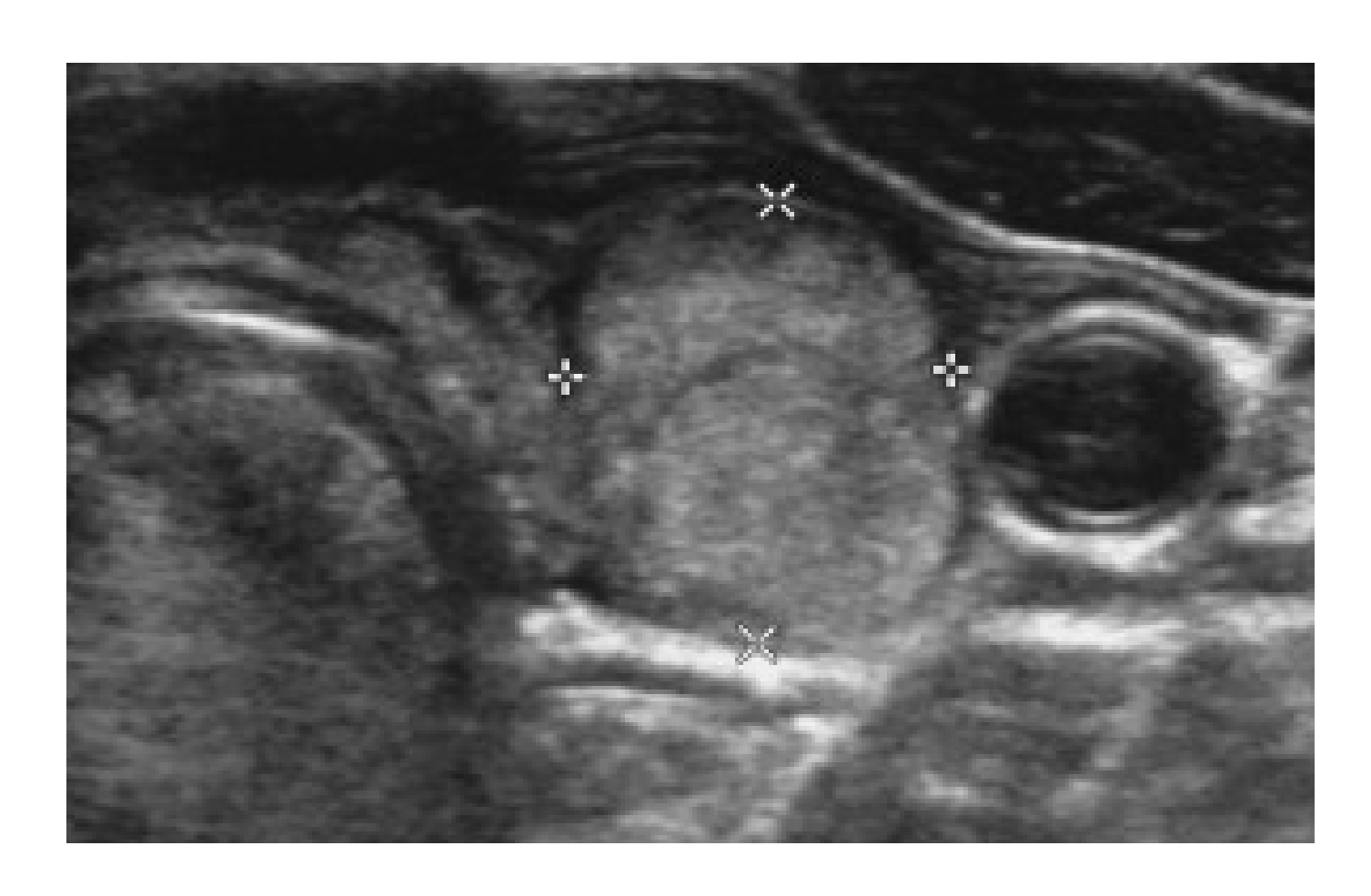


Avec ponctuation colloïde: artefact en « queue de comète »

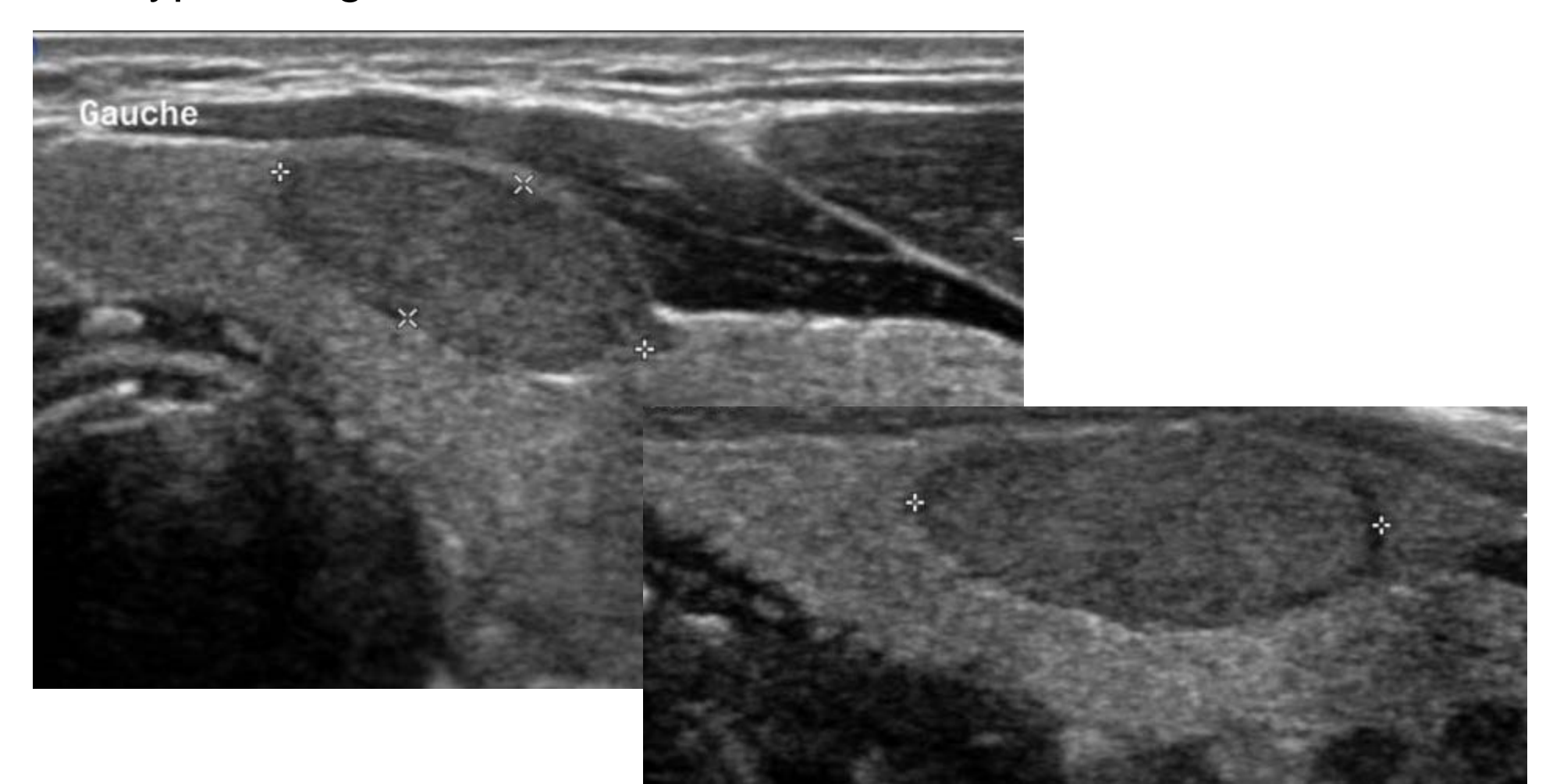
Nodule spongiforme



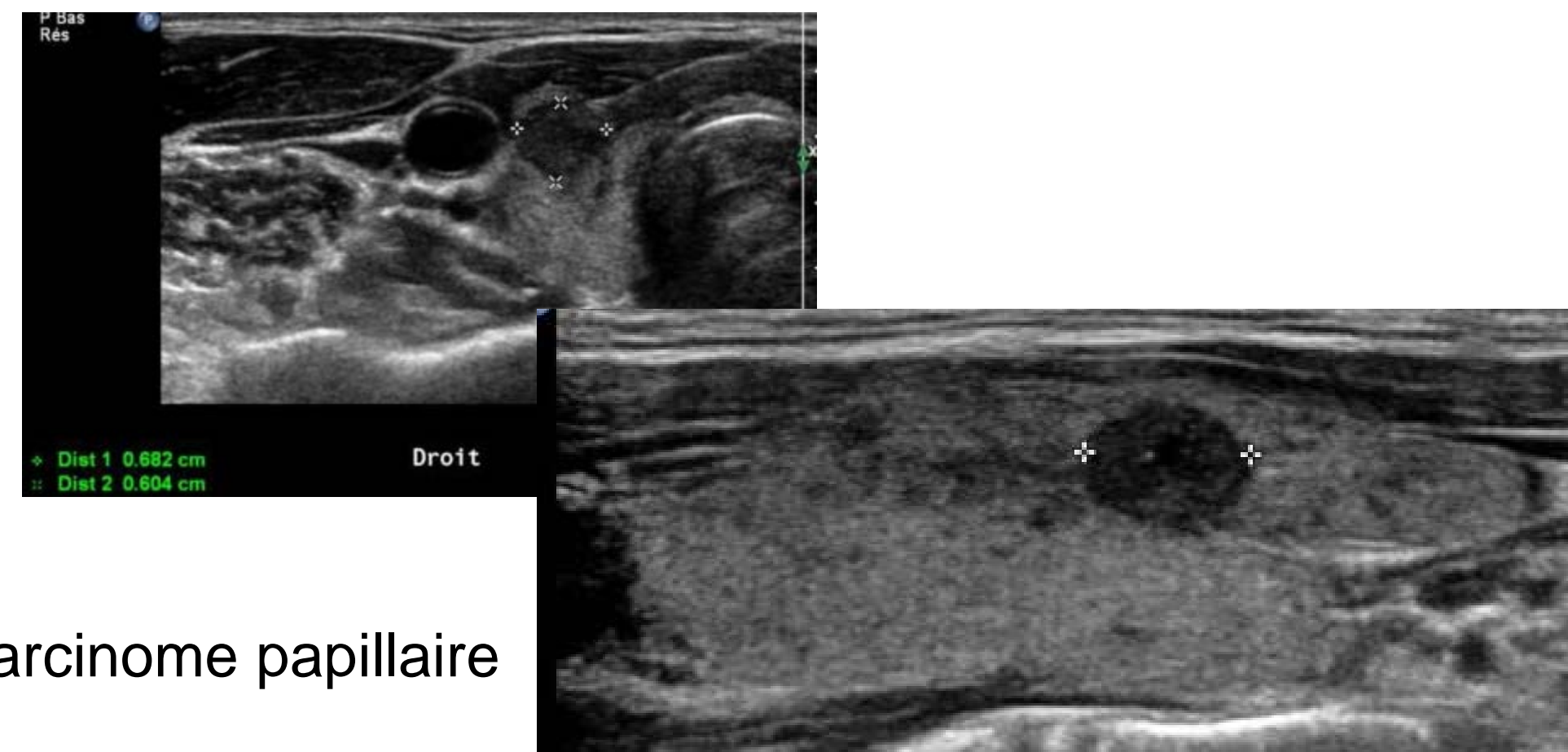
· Iso ou Hyperéchogénicité



Hypoéchogénicité modérée

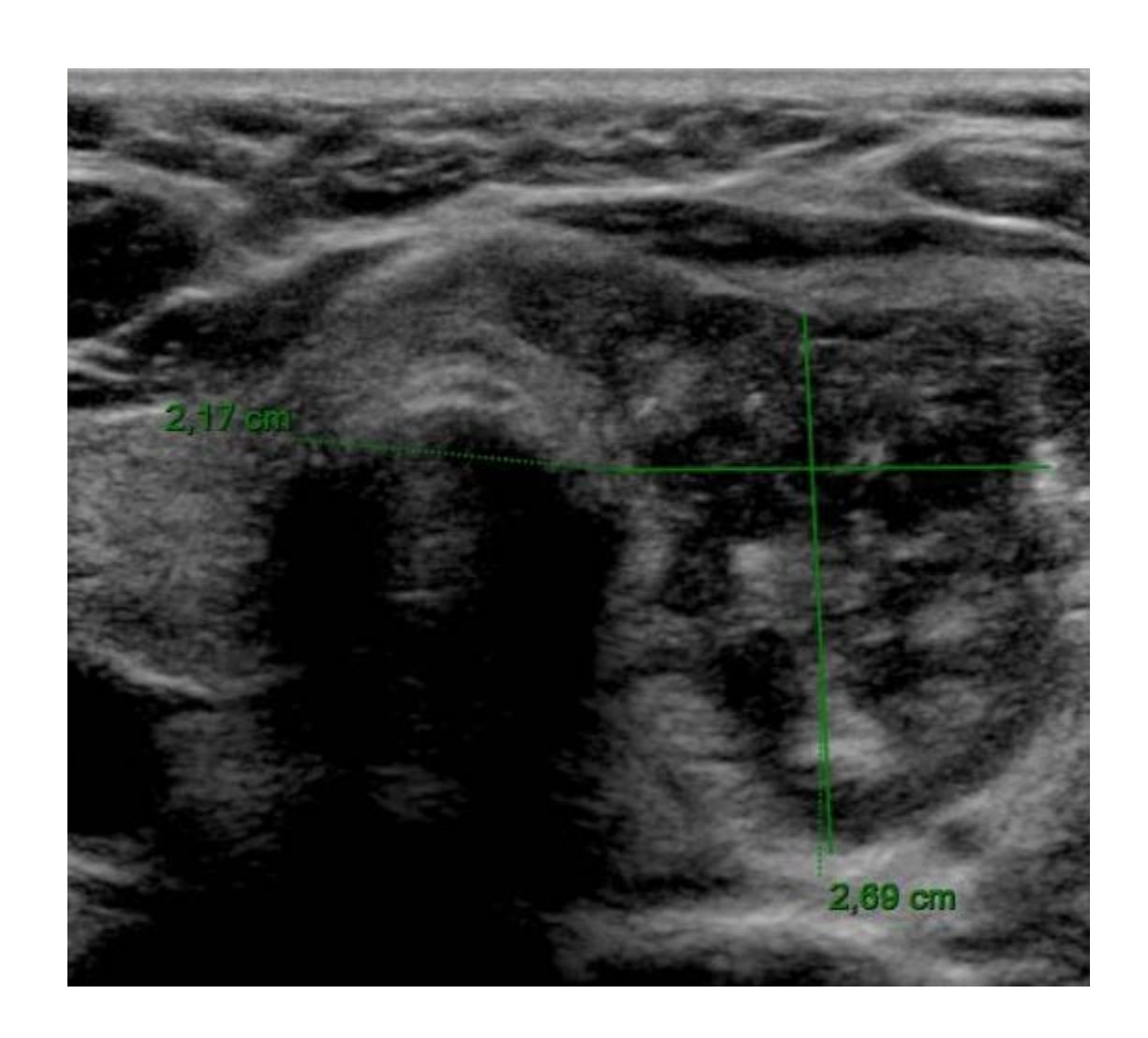


Hypoéchogénicité profonde



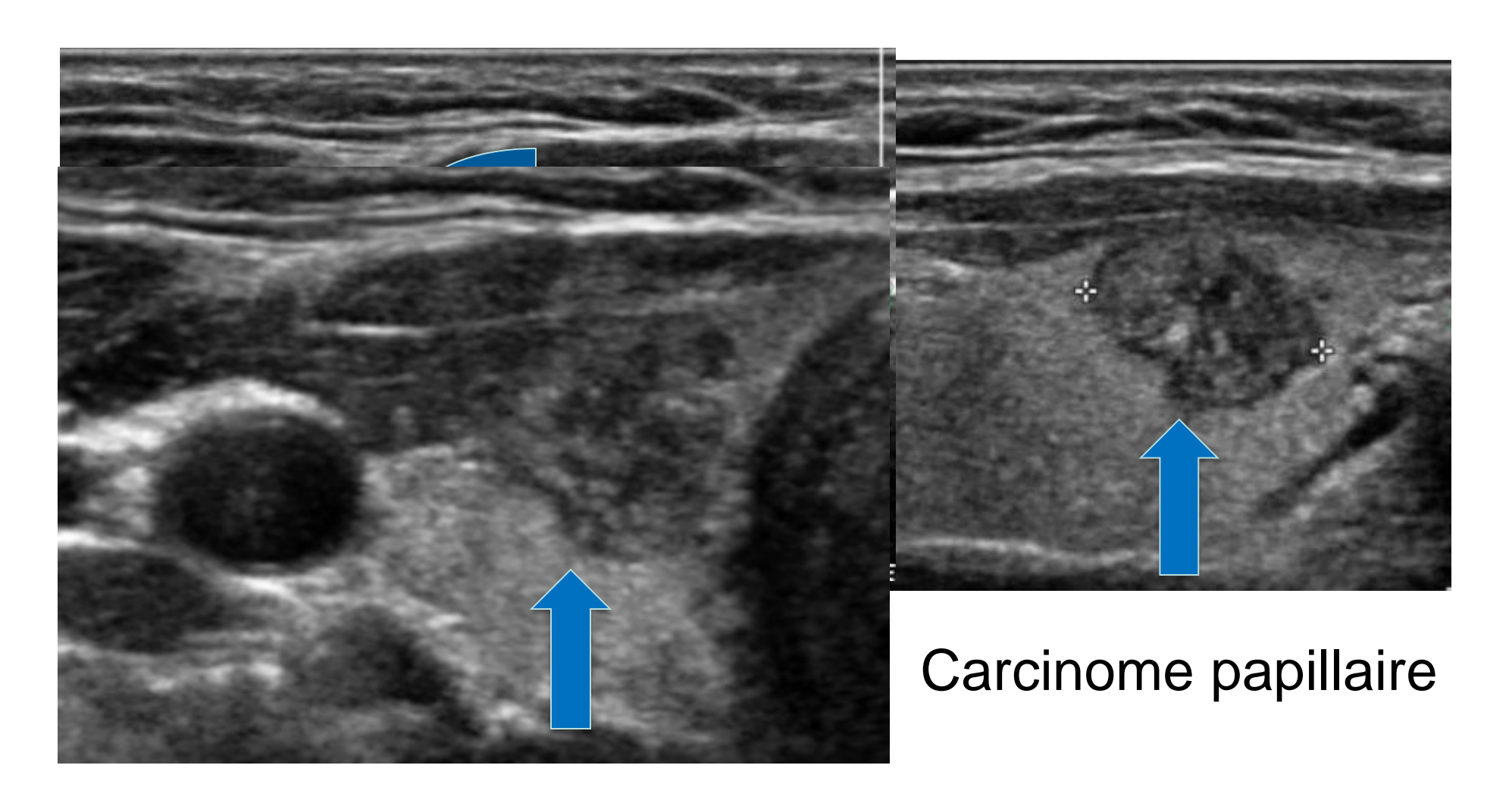
Carcinome papillaire

Plus long que large

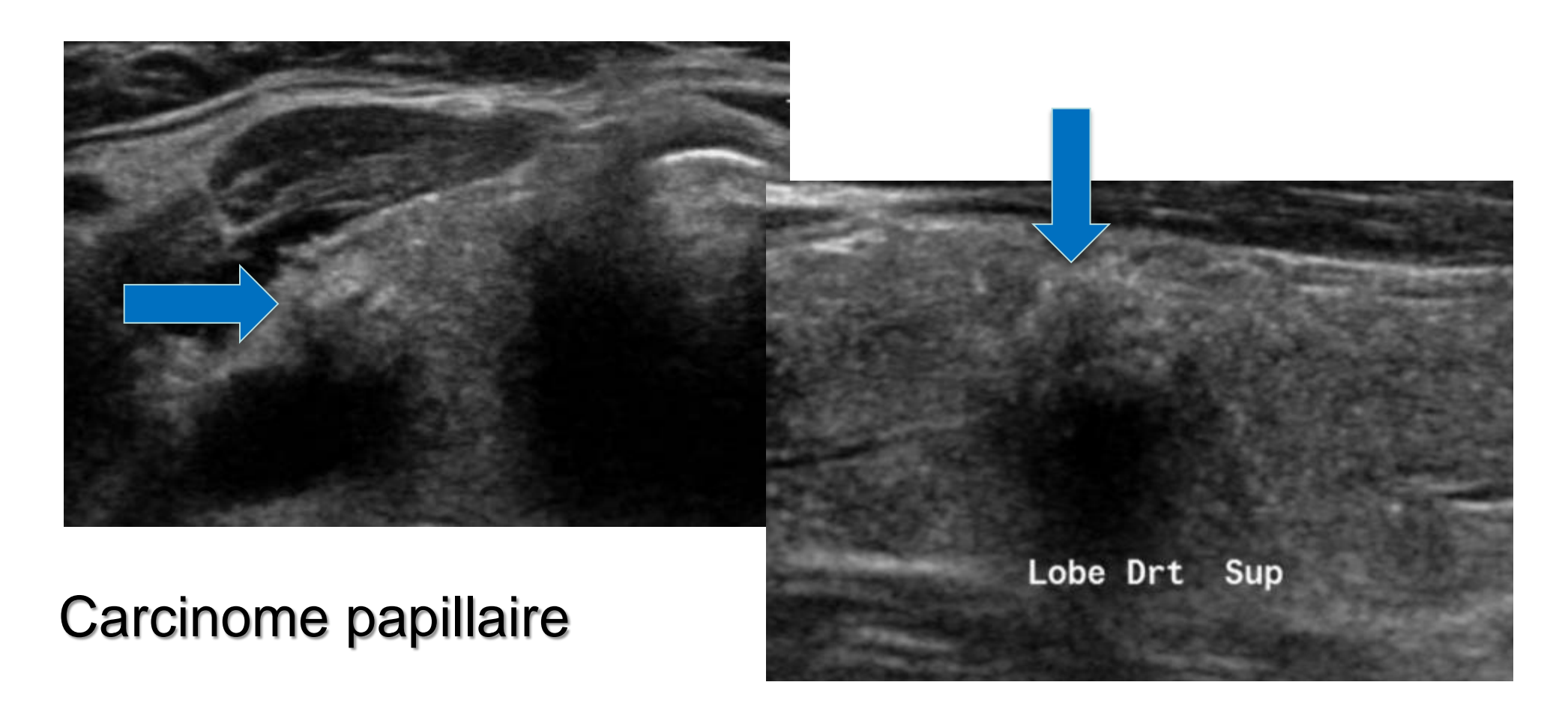


Carcinome papillaire

Contours irréguliers

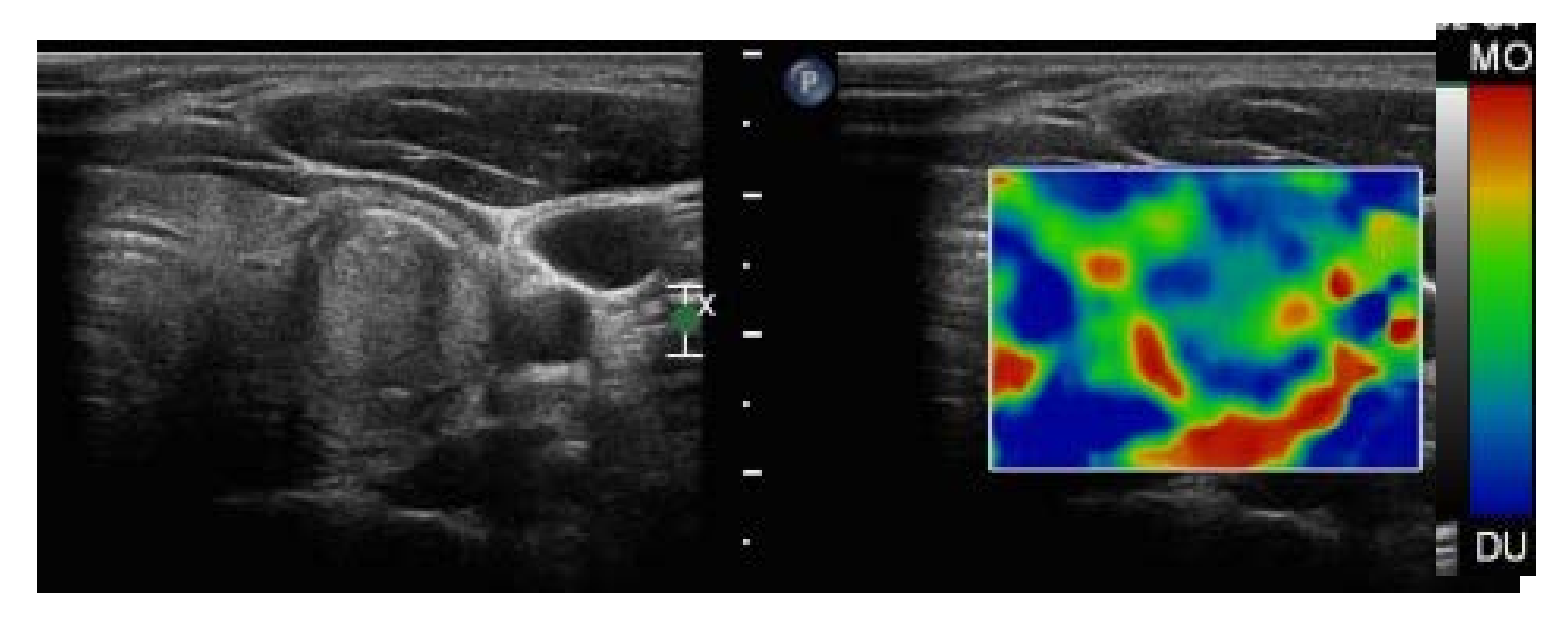


Microcalcifications



Signes additionnels: Rigidité

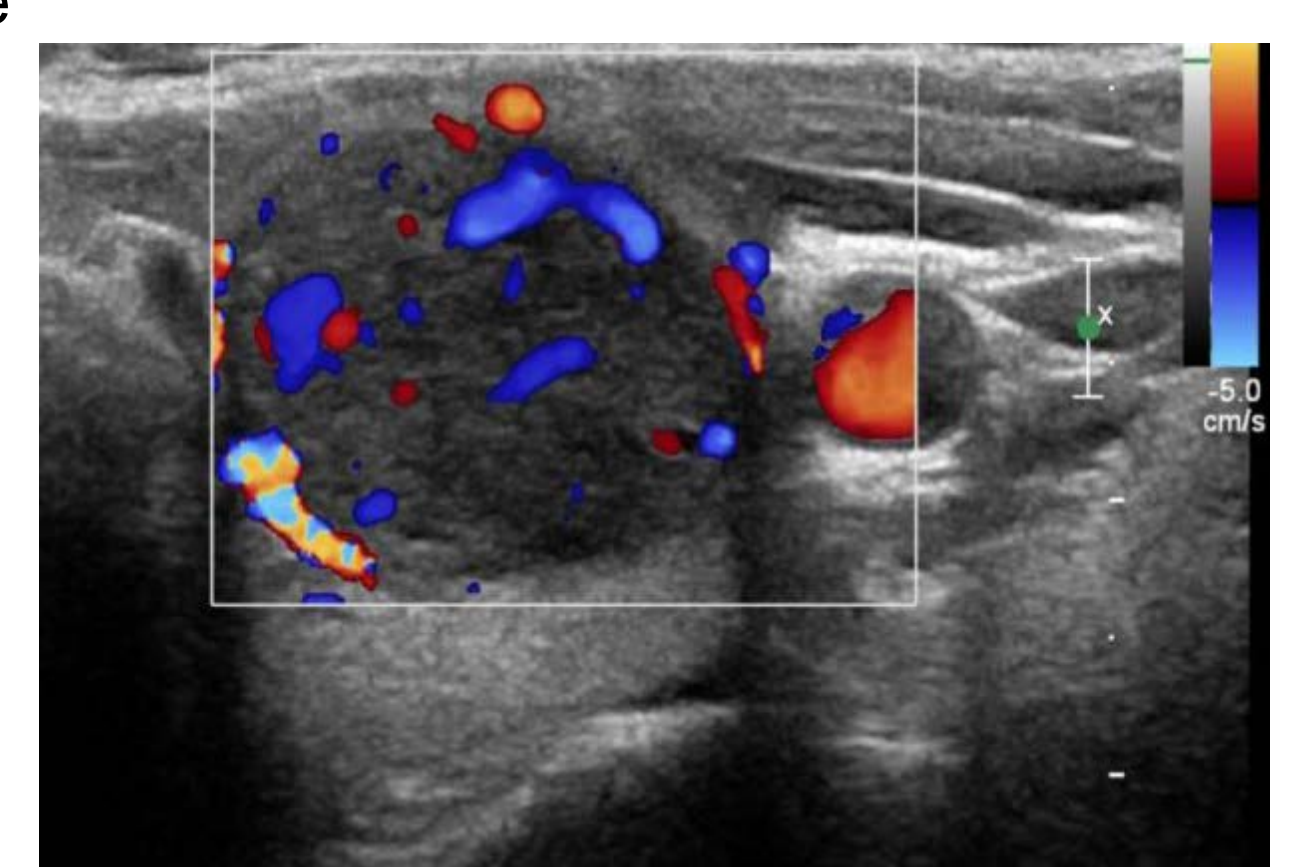
Indice de rigidité anormal

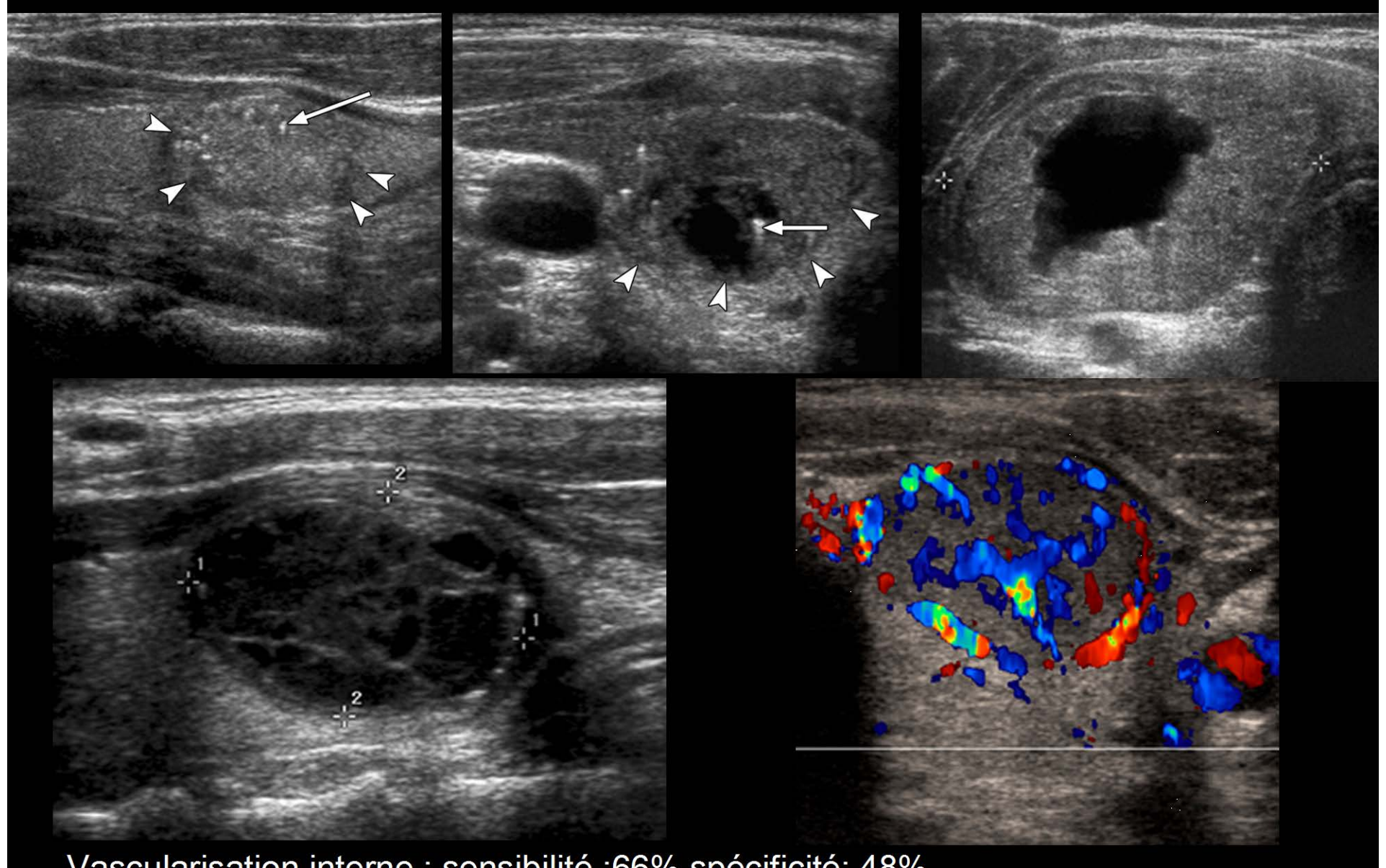


Adénome folliculaire

Signes additionnels: Vascularisation

Vascularisation centrale

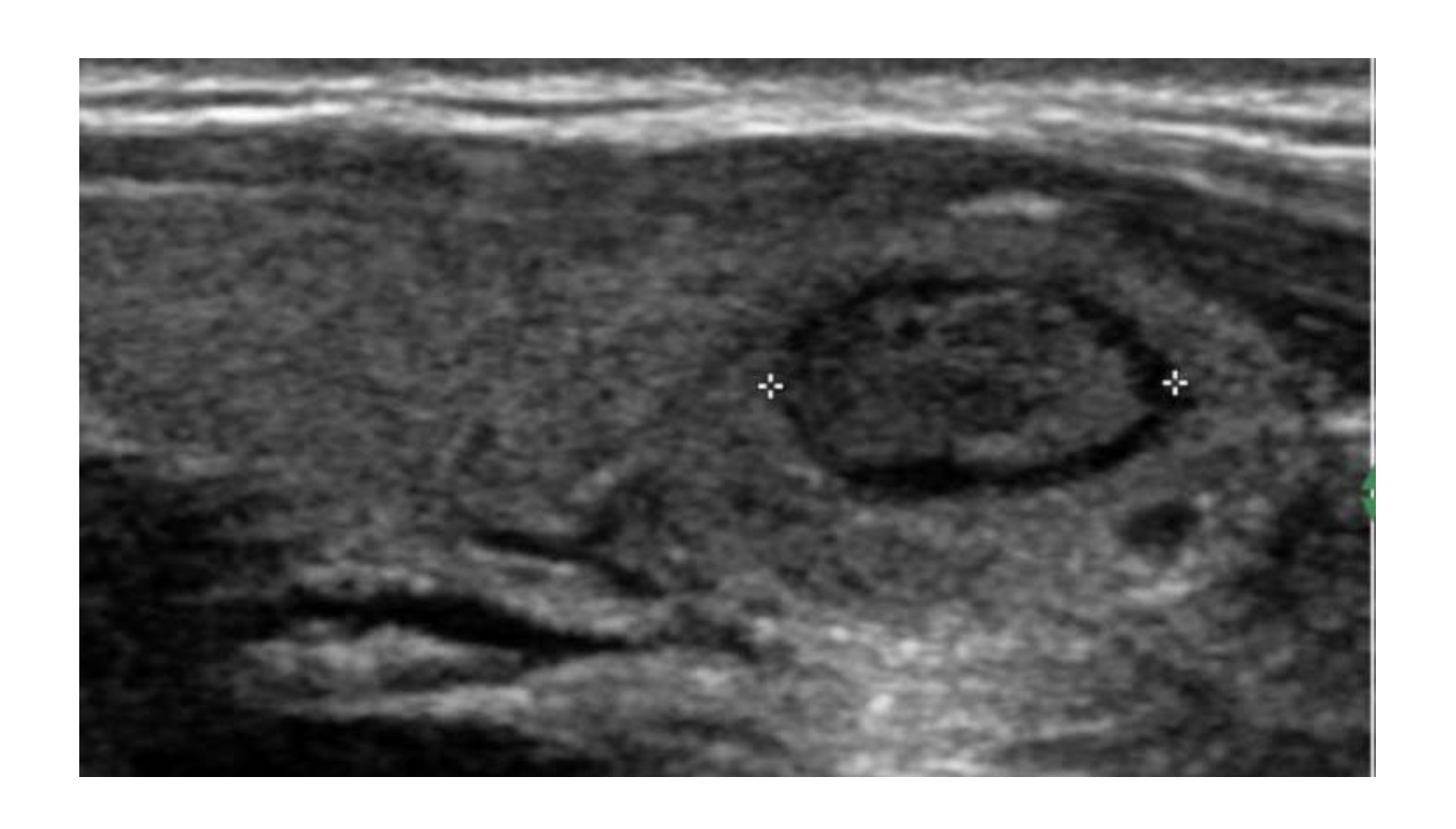




Vascularisation interne : sensibilité :66% spécificité: 48%

T. Rago et al. Eur J Endocrinol 1998; 138: 41-46.

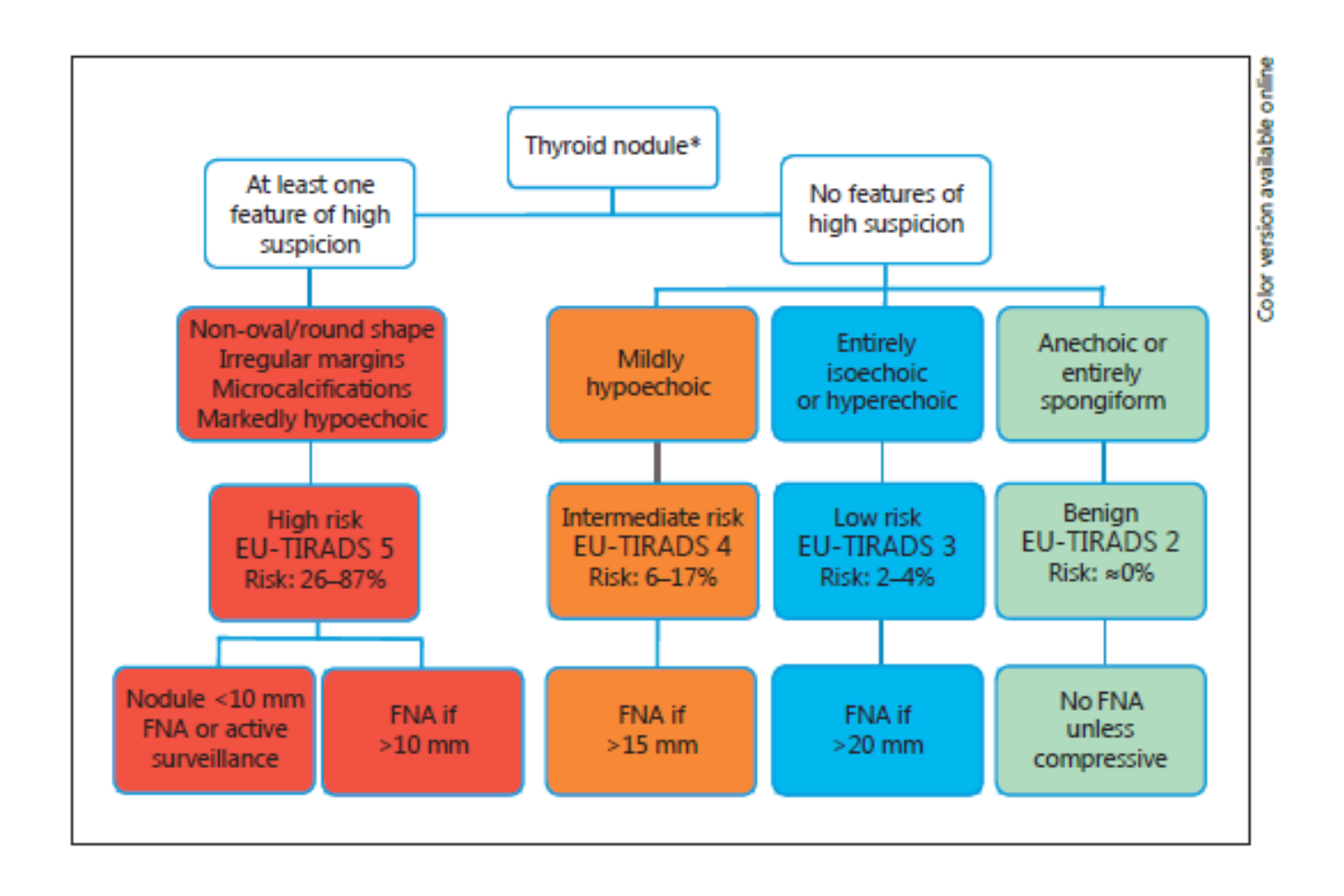
Signes additionnels: Halo



Performances de l'échographie pour caractériser un nodule thyroïdien et prédire sa nature maligne (AJR 2002)

<u>Caractéristiques US</u>	<u>Sensi. (%)</u>	<u>Spécif. (%)</u>	<u>VPP (%)</u>	<u>VPN (%)</u>	Précision diagnostique %
Microcalcifications	29/49 (59,2)	91/106 (85,8)	29/41 (70,7)	91/114 (79,8)	77 ,4
Bords irréguliers	27/49 (55,1)	88/106 (83)	27/45 (60)	88/110 (80)	74,2
Hypoéchogénicité	13/49 (26,5)	100/106 (94,3)	13/19 (68,4)	100/136 (73,5)	72,9
+ long que large	16/49 (32,7)	98/106 (92,5)	16/24 (66,7)	98/131 (74,8)	73,5

Algorithme diagnostique

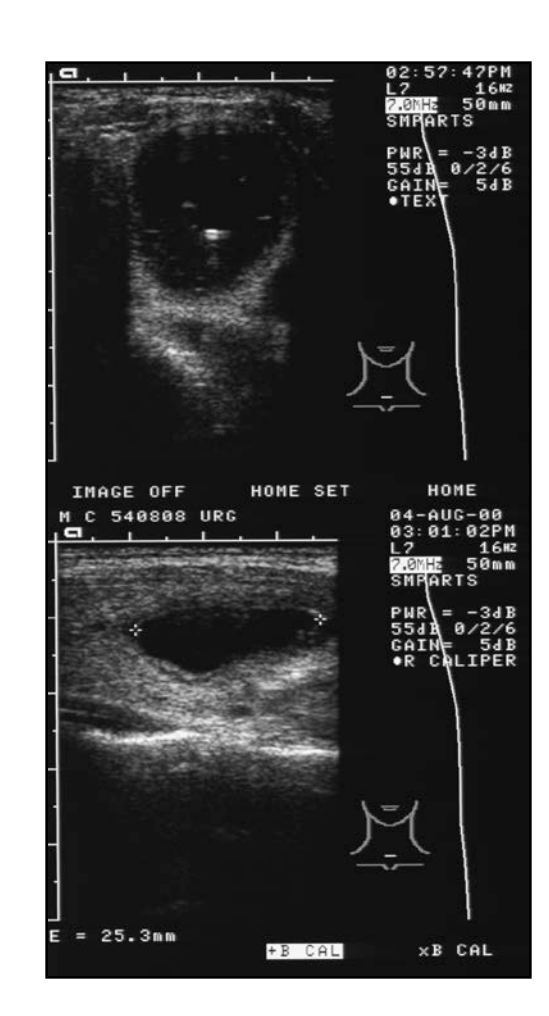


Quel nodule ponctionner?

- Masses découvertes fortuitement avec critères échographiques suspects
- ✓ Nodules EU-TIRADS 3-5
- Nodule kystique volumineux
- Terrain à risque: Irradiation cervicale, cancers familiaux....
- Nodule froid en scintigraphie
- Nodule découvert au PET-CT, TDM

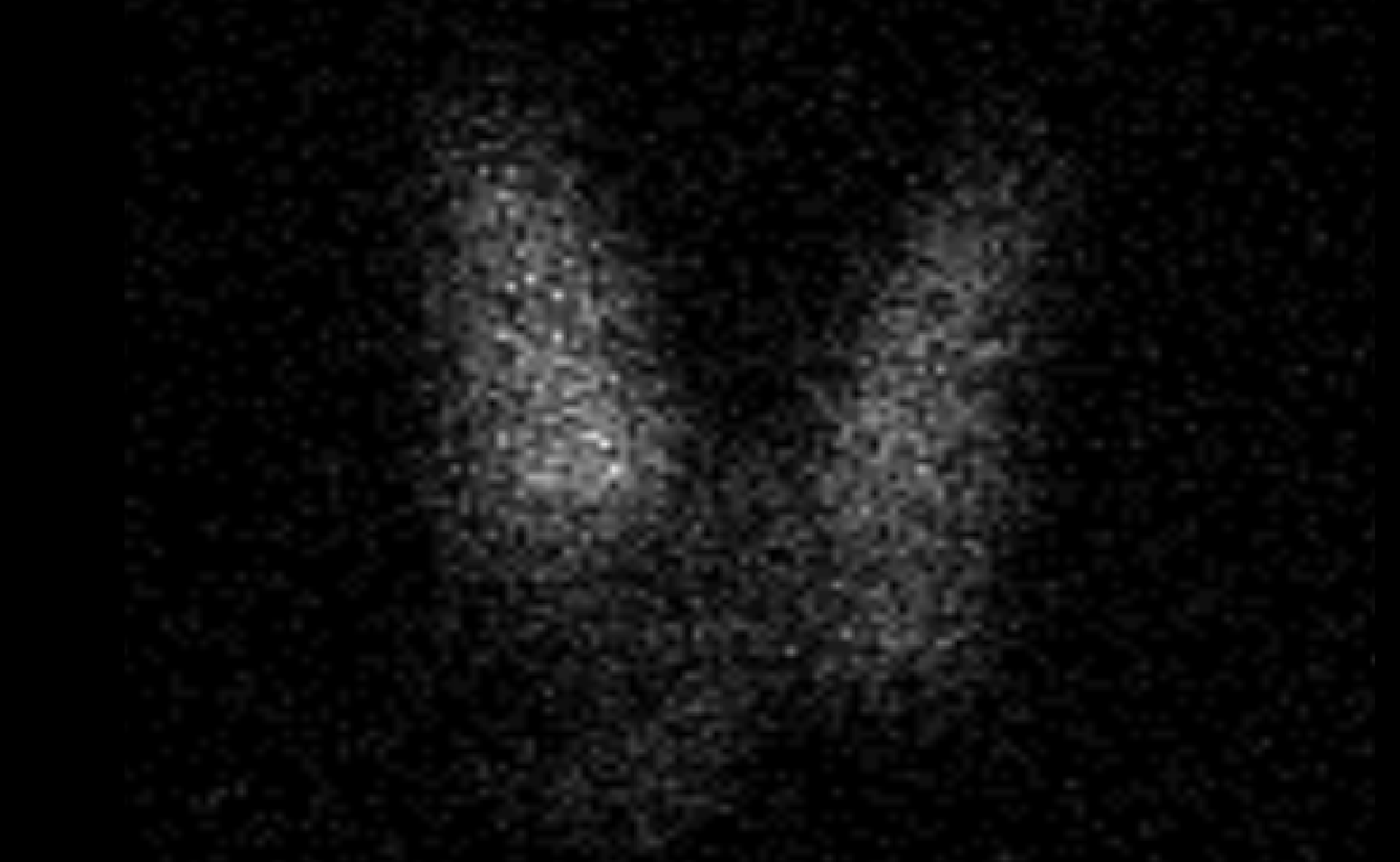
Technique de ponction

- ✓ Aiguille de 23 Gauge
- ✓ Technique de capillarité
- ✓ Avec ou sans pathologiste en salle
- ✓ Résultats: 18000 biopsies
- ✓ -bénin dans 69% des cas
- ✓ -malin dans 10% des cas
- ✓ -non diagnostic dans 17% des cas
- ✓ Sensibilité: 97.1%, spécificité: 71%



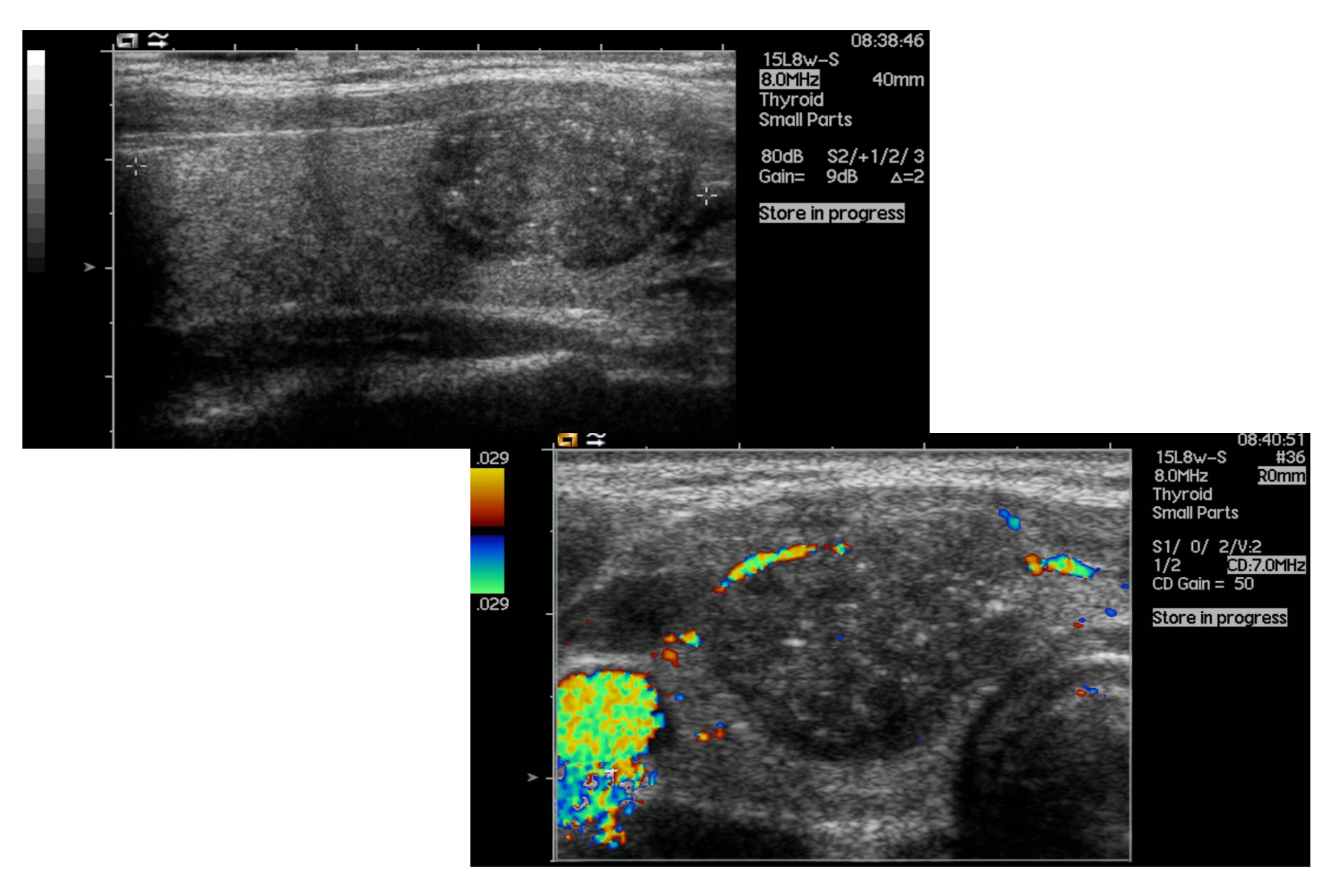
<u>Scintigraphie</u>

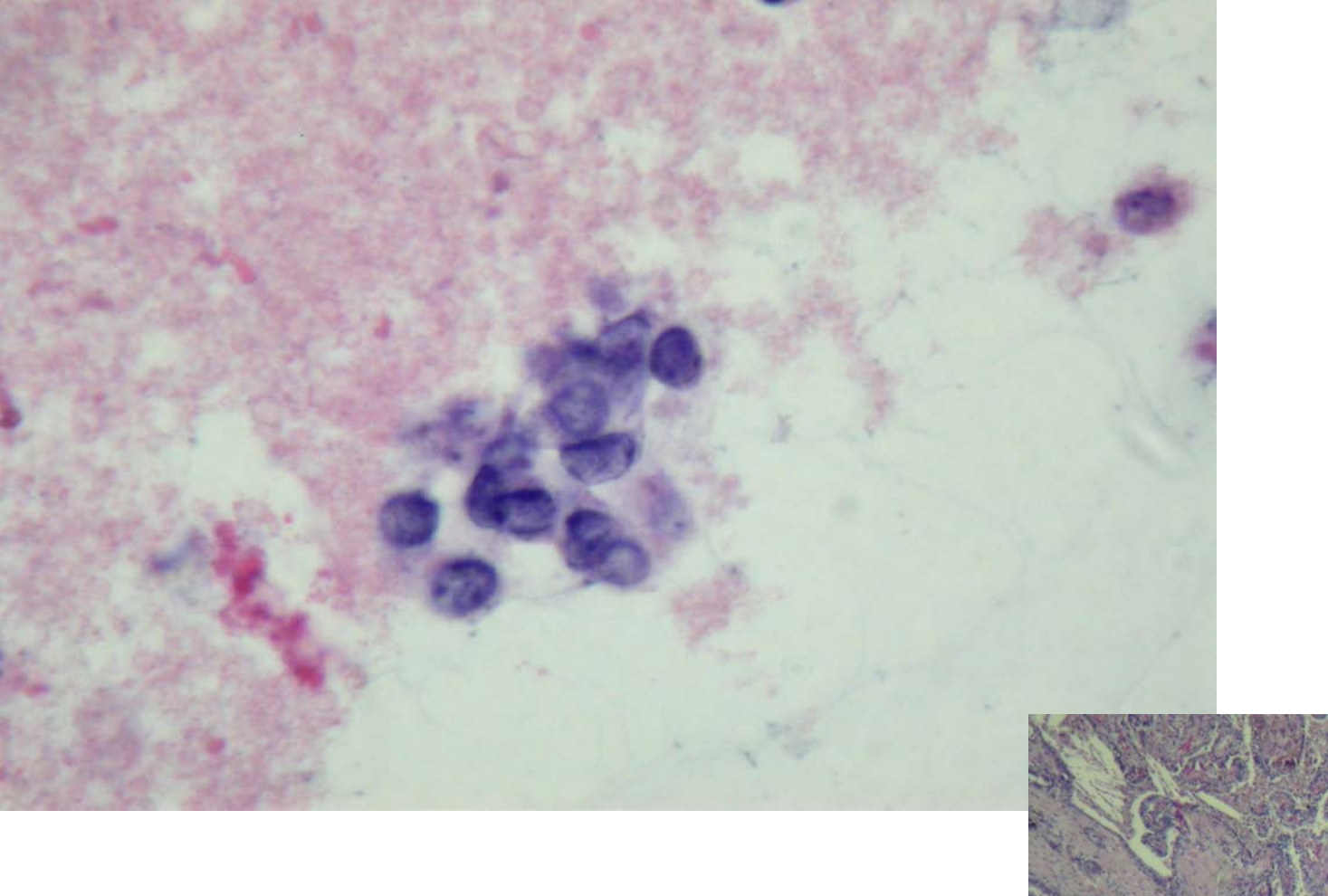
- Nodules chauds: presque toujours bénins; des cancers existent : 1- 4%
- Nodules froids: 10-25% sont des cancers
- Nodules isofixiants: 15-20% des nodules
- Résultats discordants entre scintigraphie à l'iode 123 et le Tc 99 m



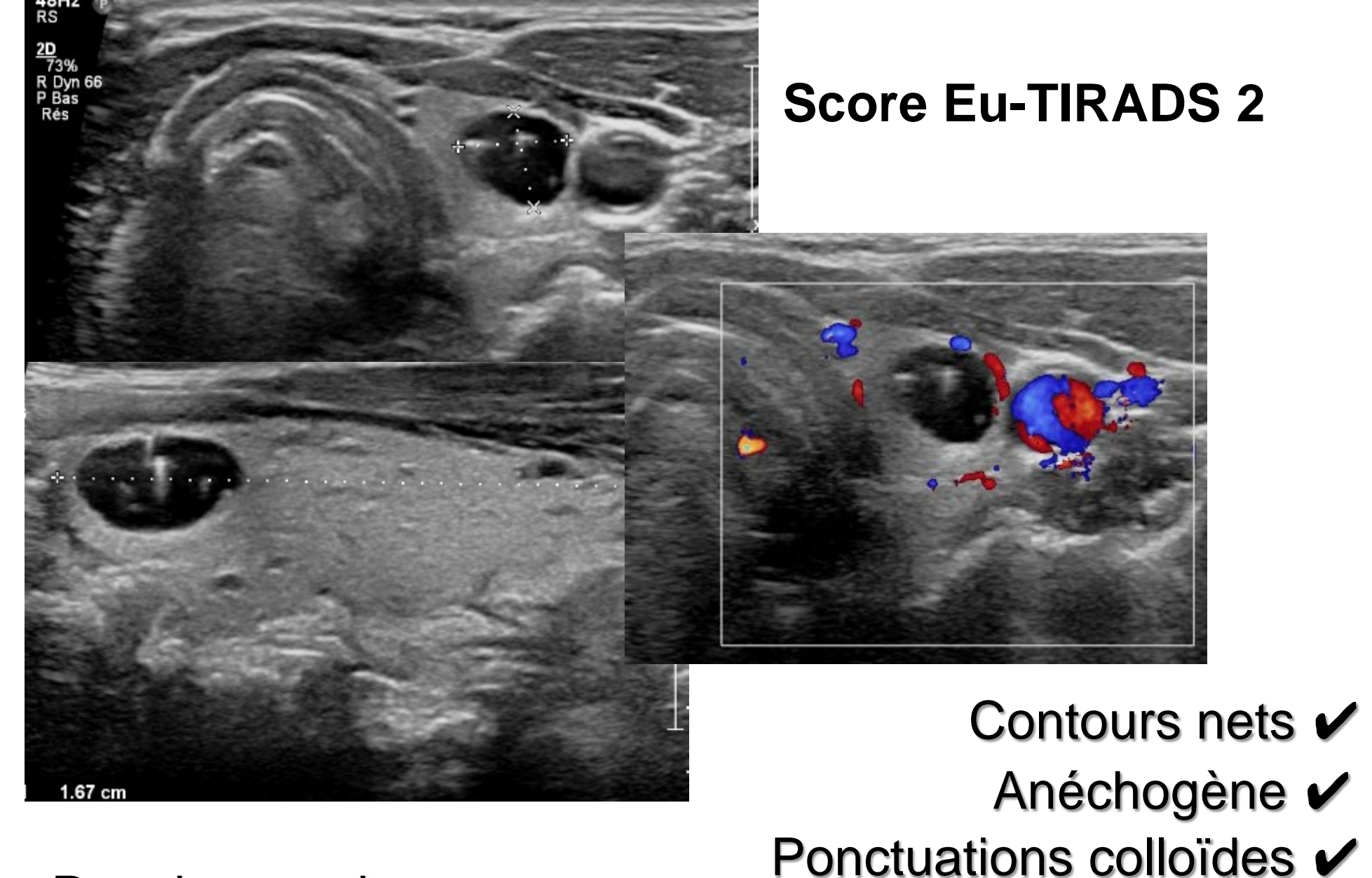
Jeune fille de 18 ans; Pas de facteur de risque familial.

Découverte d'un nodule thyroïdien droit à la palpation lors d'un examen médical scolaire



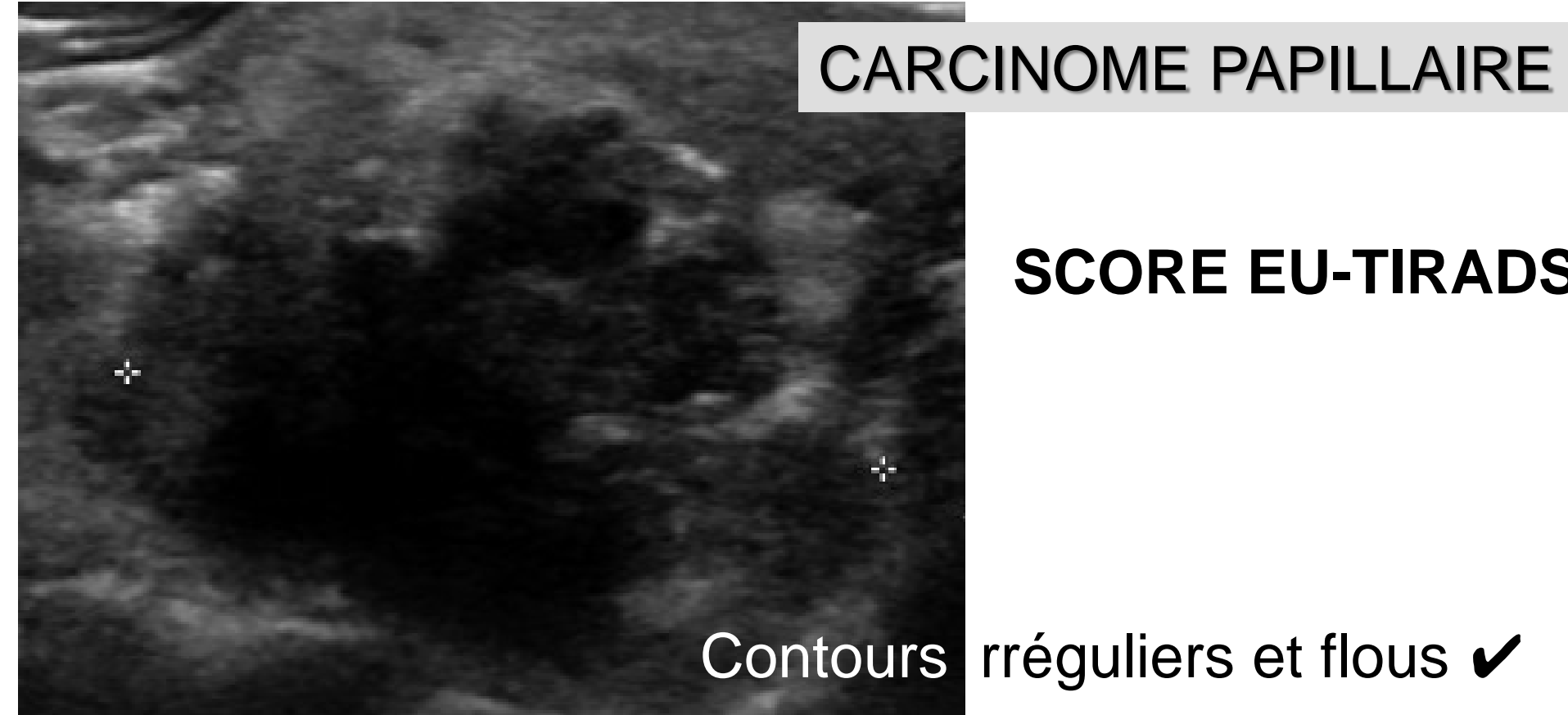


Carcinome papillaire



Pas de ponction

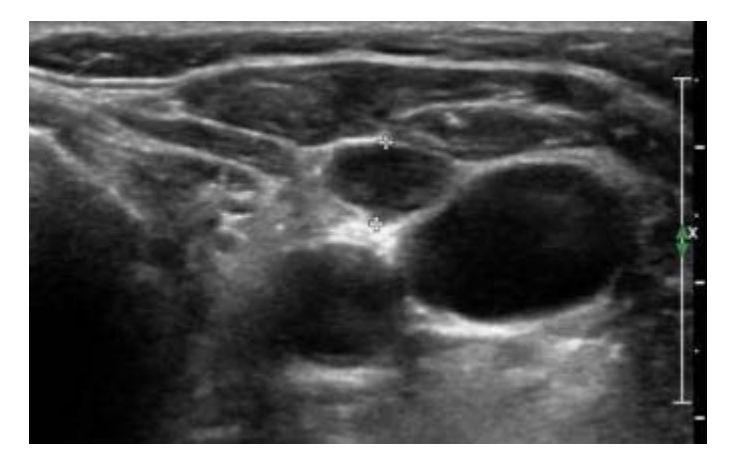
Non vascularisé DOPPLER couleur



SCORE EU-TIRADS 5

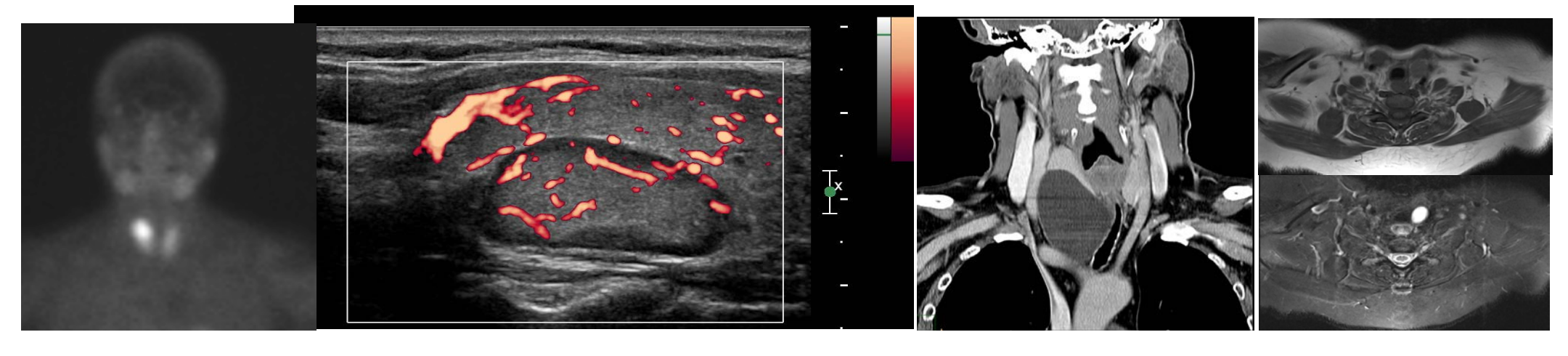
Contours rréguliers et flous 🗸

Ponctuations hyperéchogènes : microcalcifications 🗸



Hypoéchogénicité importante 🗸

Adénopathie 🗸

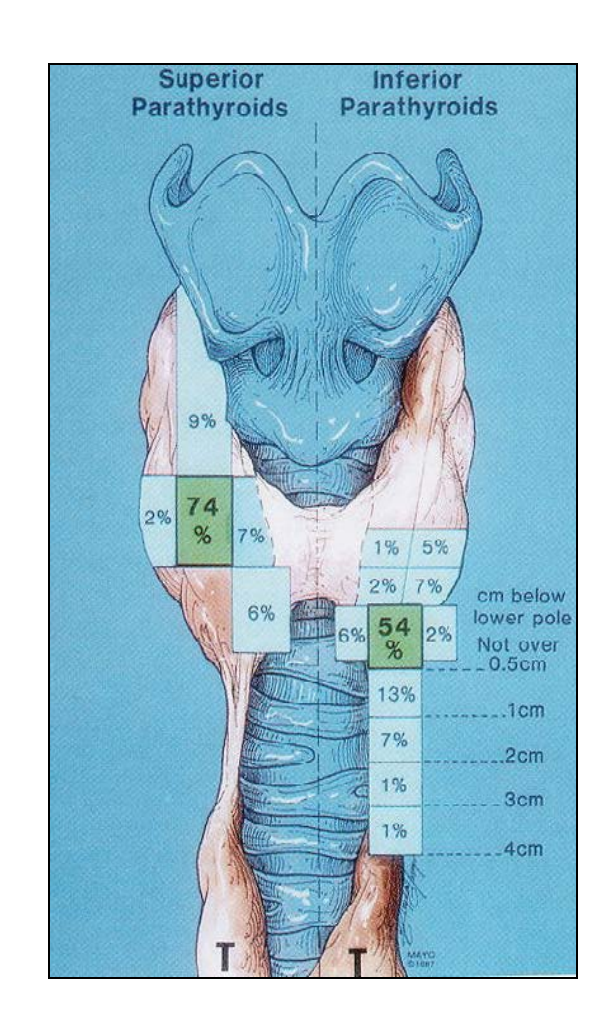


Imagerie des glandes parathyroïdes

Besoin d'une localisation précise en vue d'uen chirurgie mini-invasive

Parathyroïdes: rappel anatomique

- Deux parathyroïdes supérieures: en arrière du 1/3 moyen des lobes thyroïdiens
- Deux parathyroïdes inférieures : en arrière du pôle inférieur des lobes thyroïdiens
- Localisations ectopiques
 - Rétrotrachéales
 - Dans la gaine de la carotide
 - Dans le médiastin
 - Dans la thyroïde



Hyperparathyroïdie primaire

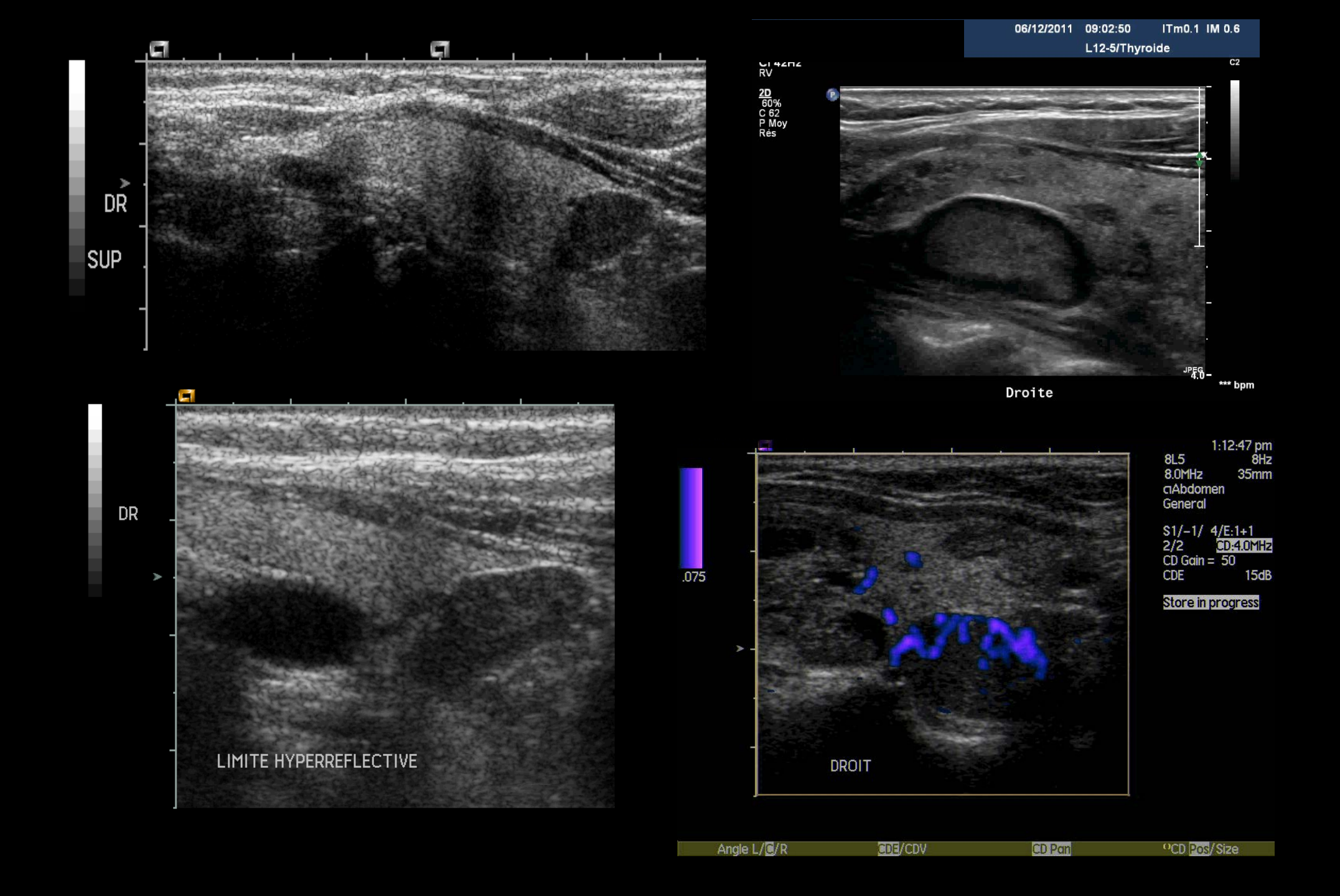
- ✓ Causes:
 - ✓ Adénome : 80 90 %
 - ✓ Hyperplasie : 10 20 %
 - ✓ Carcinome < 1 %

Hyperparathyroïdie secondaire et tertiaire

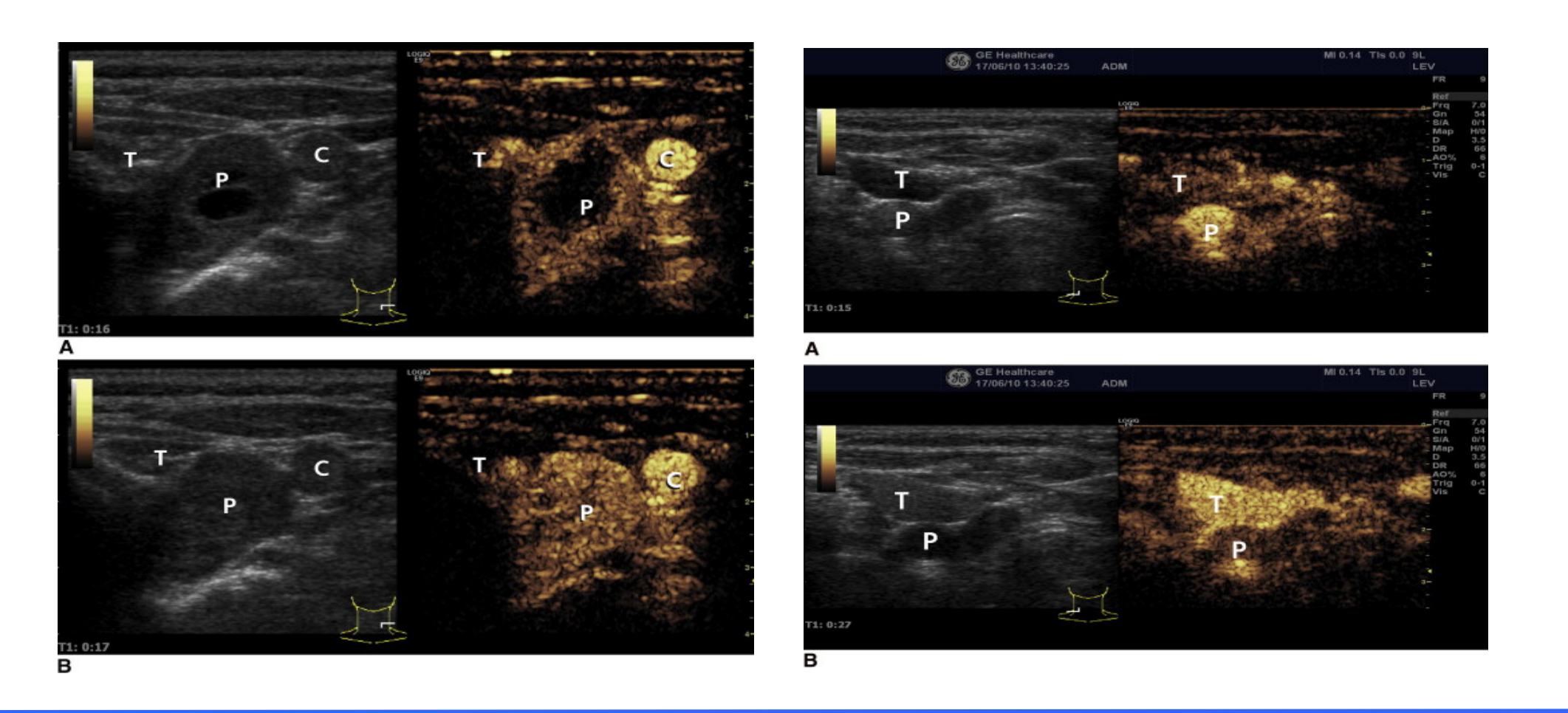
- ✓ Causes:
 - ✓ Insuffisance rénale

Imagerie des parathyroïdes (1)

- ✓ Méthodes :
 - ✓ Echographie
 - **✓** TDM
 - **✓** IRM
 - ✓ Scintigraphie (Tc-MIBI)
 - ✓ Prélèvements veineux



Echographie de contraste



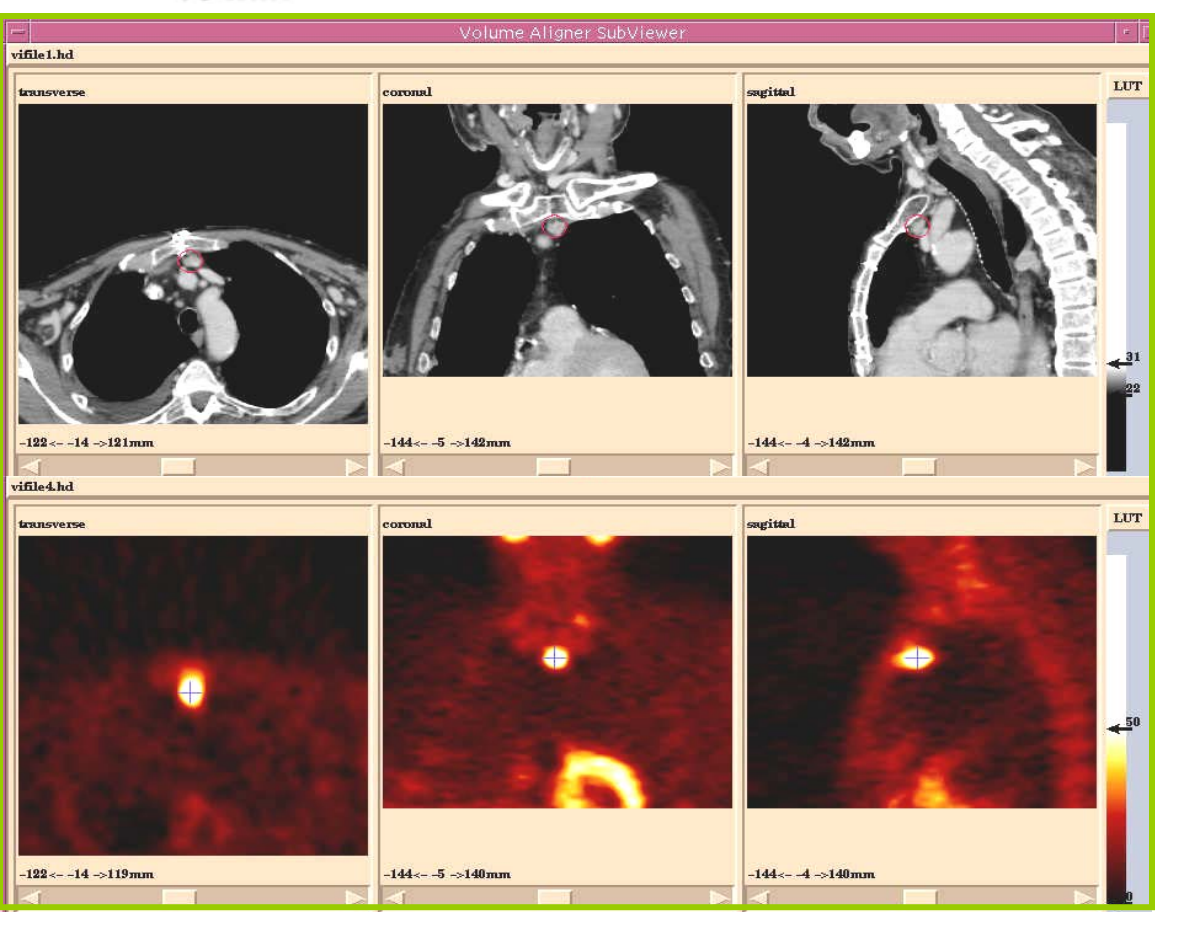
Hornung M, et al. Contrast-enhanced ultrasonography using early dynamic in microcirculation for localization of pathological parathyroid glands: first-line or complimentary diagnostic modality?



99mTc-Sestamibi 99mTc-Sestamibi

99mTc-Sestamibi 15 min

™Tc-Sestamibi 2.5 hr



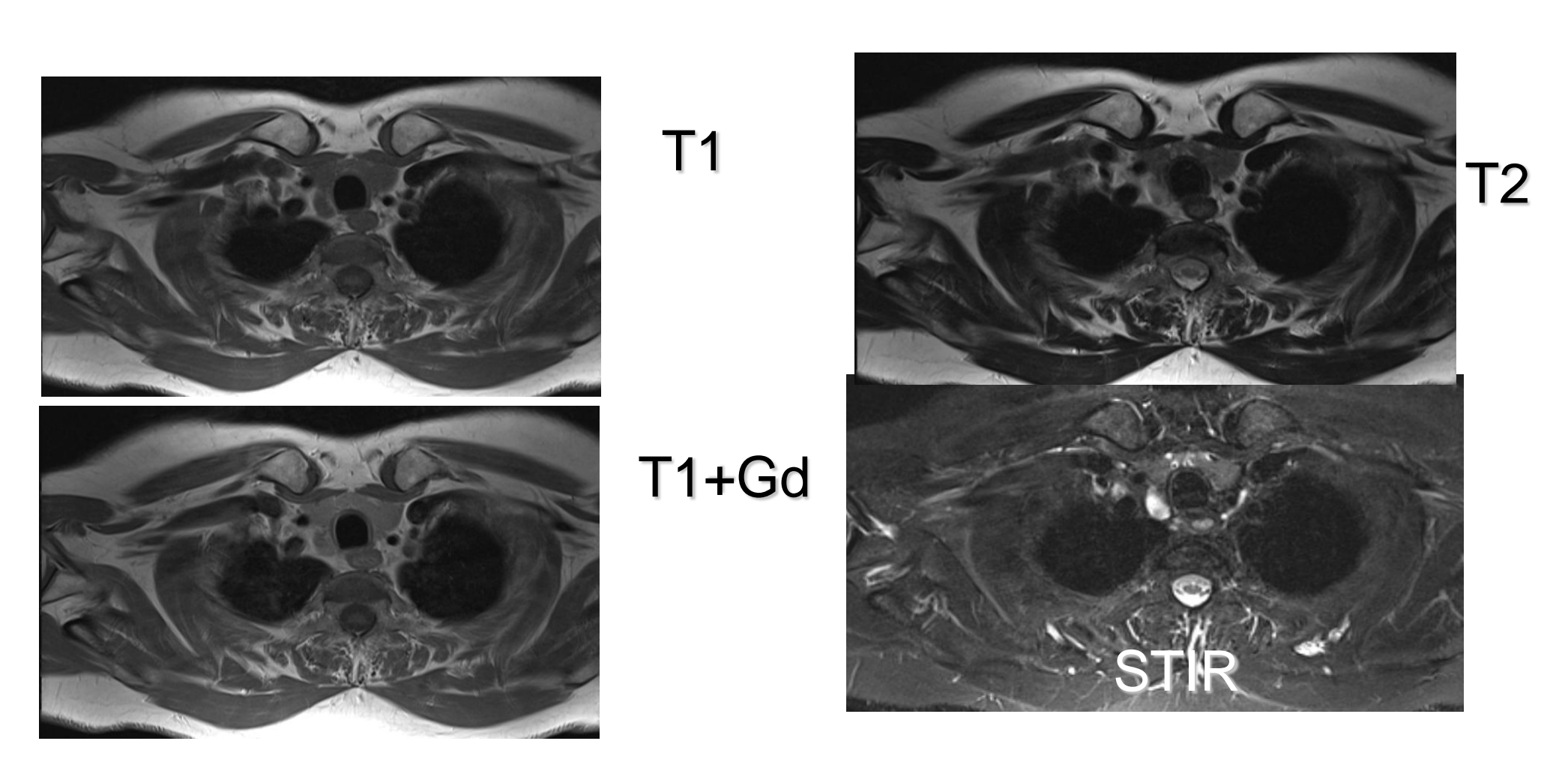
Technique Dual phase

sens 75.0%, VPP 94.5%. Spéc: 98.6%, VPN: 87%. Acc: 79.3% Echo (n=5 études, 448 pts): sens 67.3% (range: 57-75%), VPP 93%. Spéc 98%

Imagerie Hybride CT-MIBI

Semblerait être la technique la plus performante

Séméiologie en IRM



L'adénome apparaît hypo-intense en T1, modérément hyper-intense en T2 et en STIR et s'imprègne de produit de contraste.

Performance diagnostique

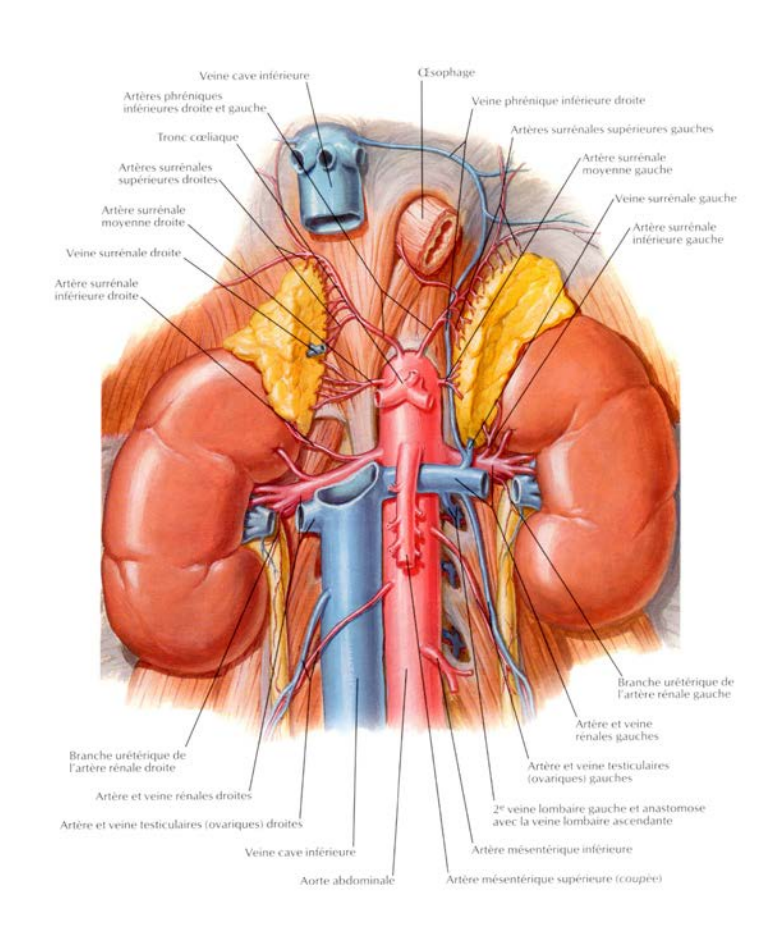
Technique	US	US + C	Scinti Tc- MIBI	IRM
Sensibilité	23/31 (74%)	31/31 (100%)	25/31 (80%)	22/31 (70%)
Coût (\$ US)	56	112	448	672
Temps	10 (8-15)	15 (13-20)	180 (150- 200)	60 (50-70)

Hornung M, et al. Contrast-enhanced ultrasonography using early dynamic in microcirculation for localization of pathological parathyroid glands: first-line or complimentary diagnostic modality?

Imagerie des glandes surrénales

Surrénales : rappel anatomique

- Topographie supéro-interne par rapport aux reins
- Forme V (droit) ou Y inversé (gauche)
- Cortex : sécrétion aldostérone
- √ cortisol
- androgènes
- Médullaire : sécrétion catécholamines



Deux situations possibles

Découverte fortuite d'une masse surrénalienne asymptomatique

Recherche d'une anomalie surrénalienne dans le cadre de troubles hormonaux.

Découverte fortuite

- 0.5 à 5% des CT-Scanners réalisés
- Pas de cancer connu:
 - le plus souvent adénome bénin non-hypersécrétant
 - autres lésions sécrétantes ou non, bénignes ou malignes

- Cancer connu: métastase?
 - 4ème site de localisation après les poumons, le foie, et les os
 - cancer du poumon, seins, reins, estomac, pancréas, peau (mélanome)

Adénome

contenu lipidique intracellulaire (histologique)

cinétique vasculaire (physiologique)

Contenu lipidique intracellulaire

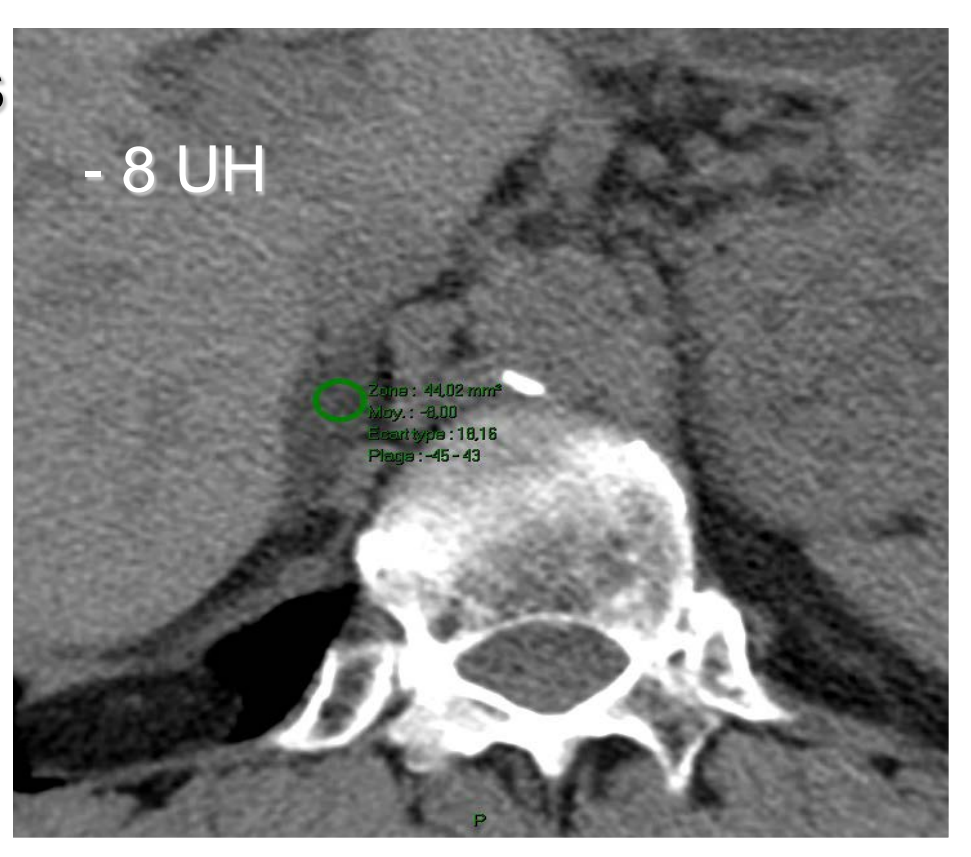
Elevé dans 70 % des adénomes Faible dans les métastases

Scanner sans injection:

densité < 10 UH

sensibilité: 71 %

spécificité: 98 %



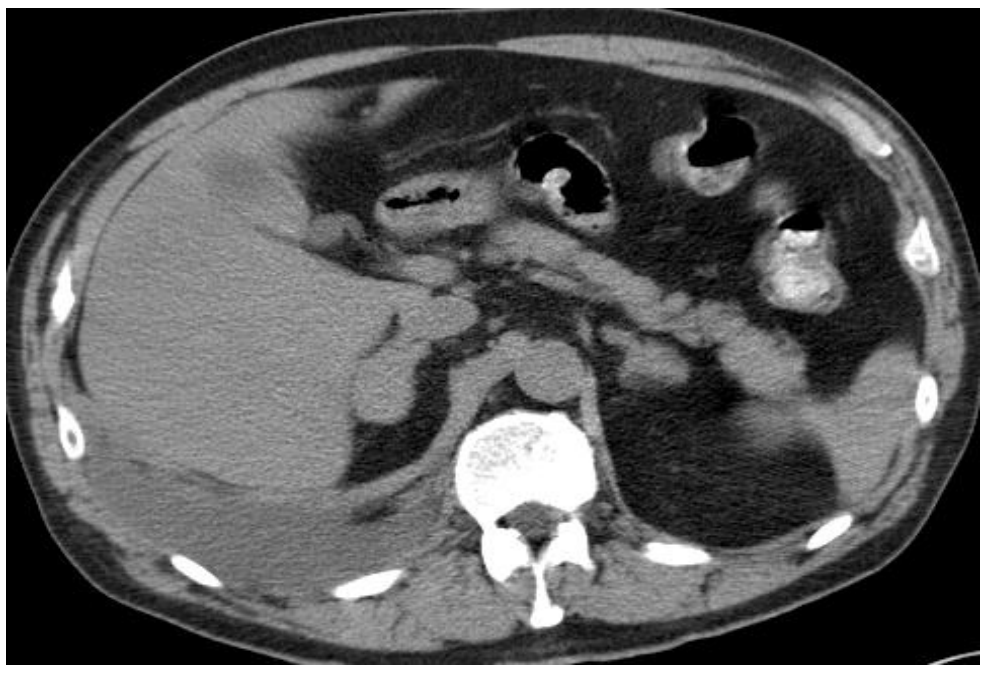
Problèmes:

- la plupart des scanners sont réalisés directement après injection de contraste en particulier dans les bilans de cancer
- 30 % des adénomes n'ont pas un contenu suffisamment riche en lipide pour avoir une atténuation inférieure à 10 UH

TDM sans injection



Densité: - 2 UH = adénome riche en lipides



Densité: 49 UH

aspécifique
adénome pauvre en lipides
versus métastase ou autre lésion
(phéochromocytome, carcinome)

Cinétique vasculaire

Scanner avec injection:

60 - 70 s:

rehaussement rapide des adénomes

à 10 et 15 minutes:

lavage rapide des adénomes absolute percentage washout (APW) relative percentage washout (RPW)

		Pourcentage du washout pour caractériser les adénomes		
Calcul du washout	Formule	15 min de délai	10 min de délai	
APW	(E-D)/(E-U) x 100	> 60% (sp 95%, ss 89%)	> 50% (sp 80%, ss 71%)	
RPW	(E-D)/E x 100	> 40% (sp 93%, ss 83%)	> 37,5% (sp 100%, ss 55,7%)	



Densité: 41 UH

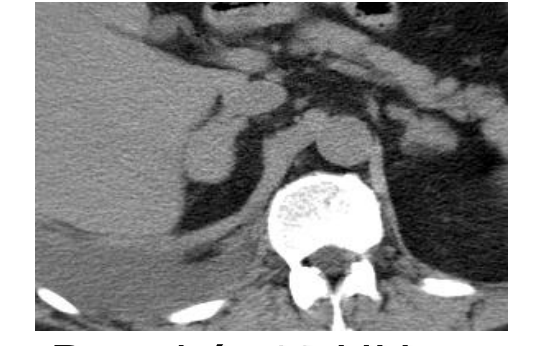


119 UH



55 UH





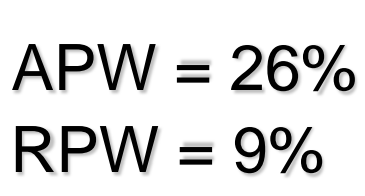
Densité: 49 UH 0 s



75 UH 70 s

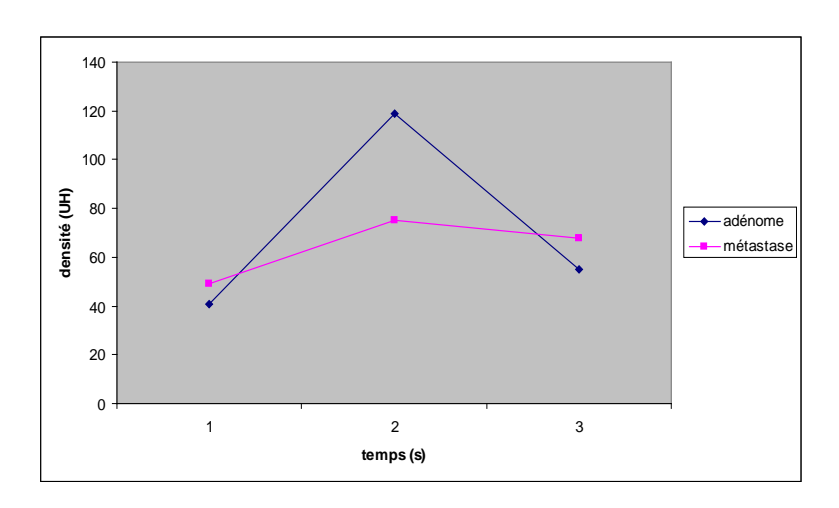


68 UH 600 s



APW = 82%

RPW = 53%



Contexte néoplasique connu

- > 4 cm : métastase
- Modification significative de la taille
 - Aspect :
 - Adénome régulier, homogène
 - Métastase irrégulière, hétérogène
 - Densité
 - Rehaussement

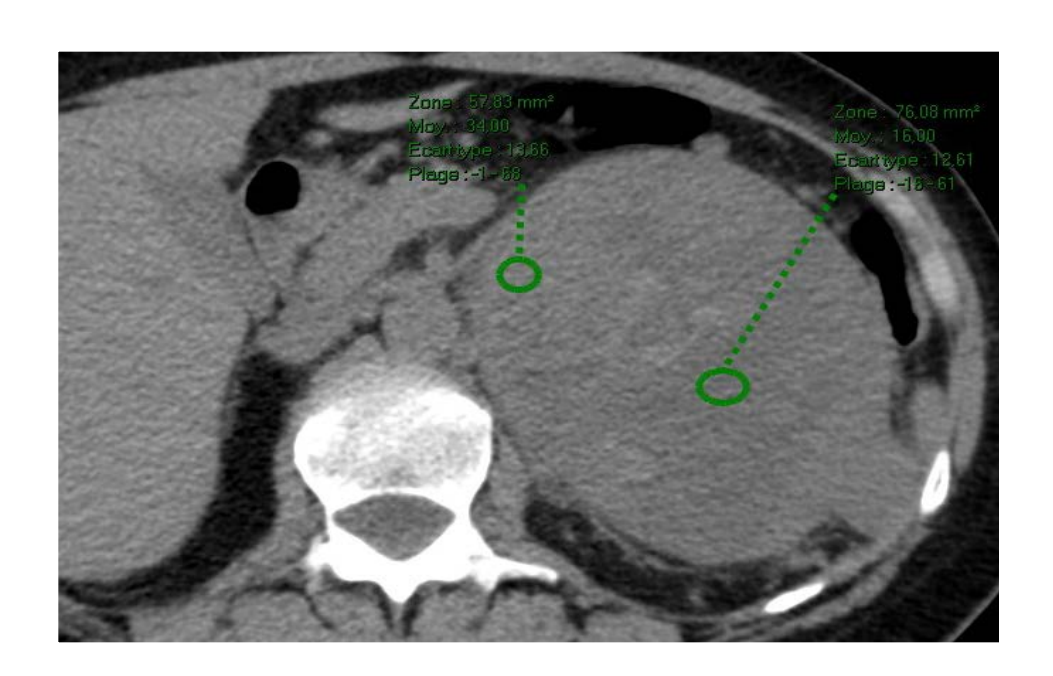


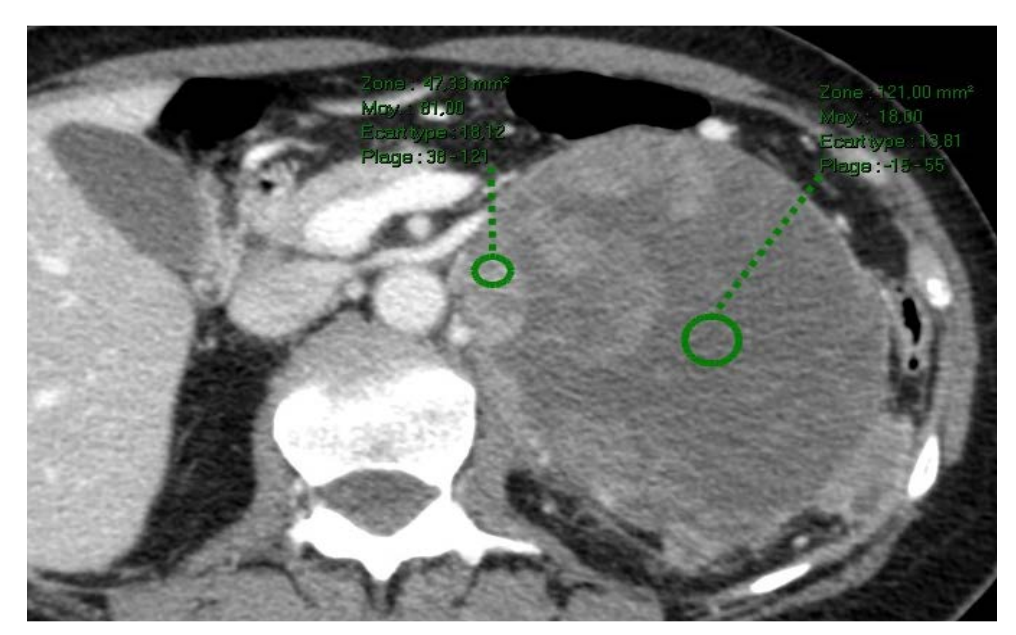


1 an plus tard

Carcinome surrénalien

- rare
- 10 % bilatéraux
- 50 % fonctionnels
- TDM:
 - volumineux 4 10 cm
 - hétérogène
 - zone de nécrose centrale fréquente
 - 30 % calcifications



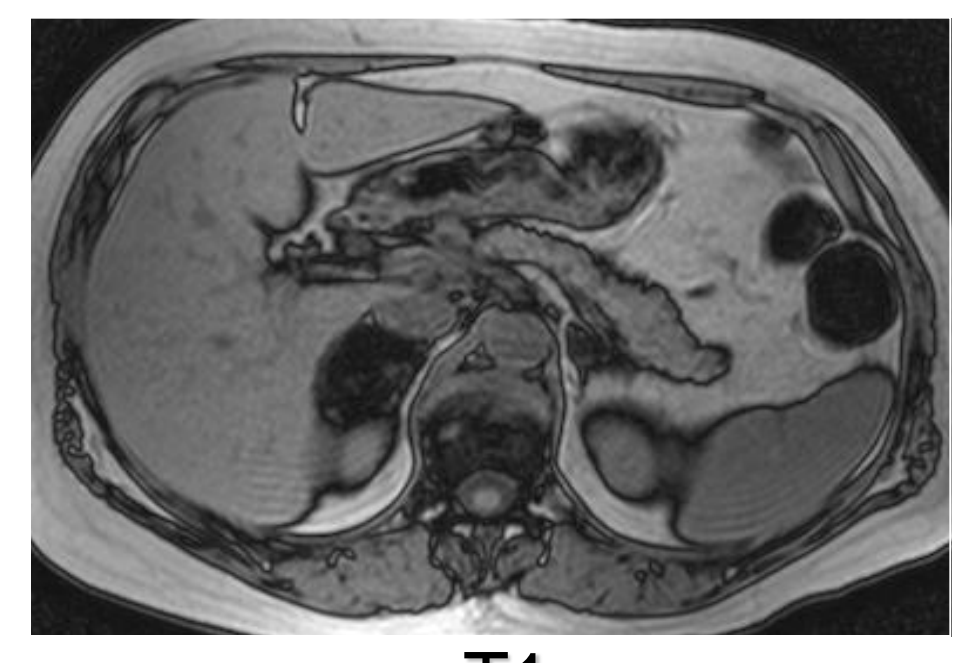


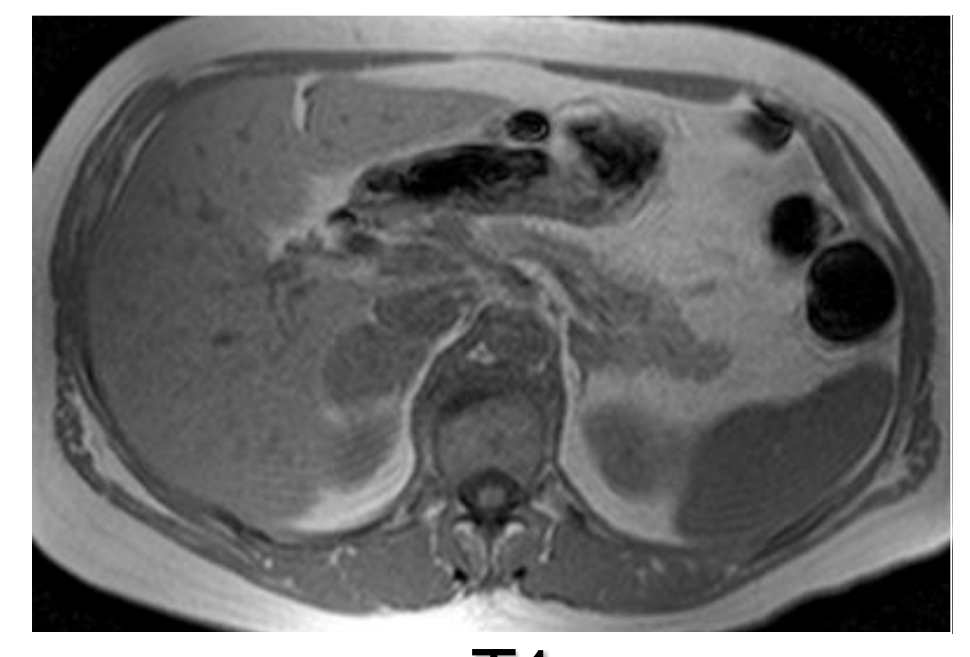
<u>IRM:</u>

- séquence pondérée T2 (peu d'intérêt): intensité plus marquée des métastases et des phéochromocytomes
- séquence pondérée T1:
 résonance différente des protons intracellulaires liés à l'eau ou à la graisse
 - chute du signal sur une séquence pondérée T1 en opposition de phase par rapport à une séquence en T1 en phase
 - sensibilité 81 à 100 %
 - spécificité 94 à 100 %

Méthode qualitative

IRM





Opposition de phase TE: 2,3 ms à 1,5 T

Phase TE: 4,6 ms à 1,5 T





Lésion surrénalienne sécrétante

Masses sécrétantes ? (bilan hormonal)

Phéochromocytome médullaire

Hypersécrétion de cortisol cortex (graisse)

Hypersécrétion d'aldostérone cortex (graisse)

Méthode de choix:

1

TDM avec coupes fines (< 3 mm) sur les surrénales

Pourquoi ?

résolution spatiale TDM > IRM

détecte plus de nodules

Médullaire

Phéochromocytome

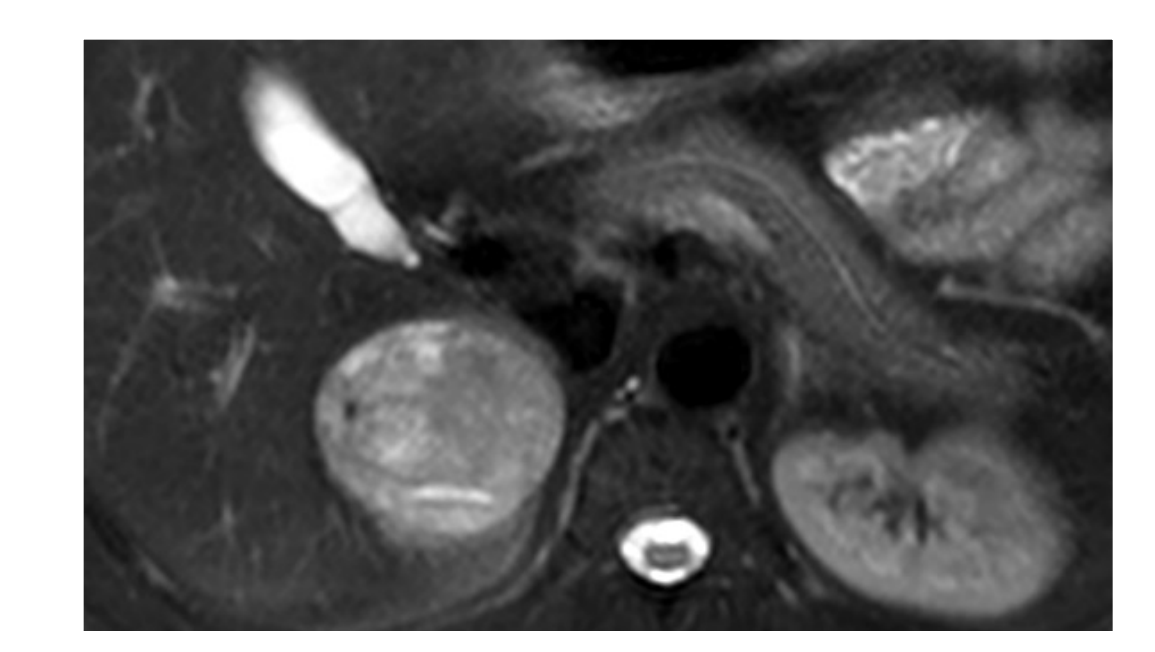
- hypersécrétion de catécholamines
 - 0.1 à 0.5 % des hypertendus
 - règles des 10 %:
 - 10 % bilatéraux
 - 10 % extrasurrénaliens
 souvent paraspinaux = paragangliomes
 - 10 % malins
 - néoplasie endocrinienne multiple (type II)
 phacomatose neurofibromatose de V. R.
 maladie de Von Hippel-Lindau

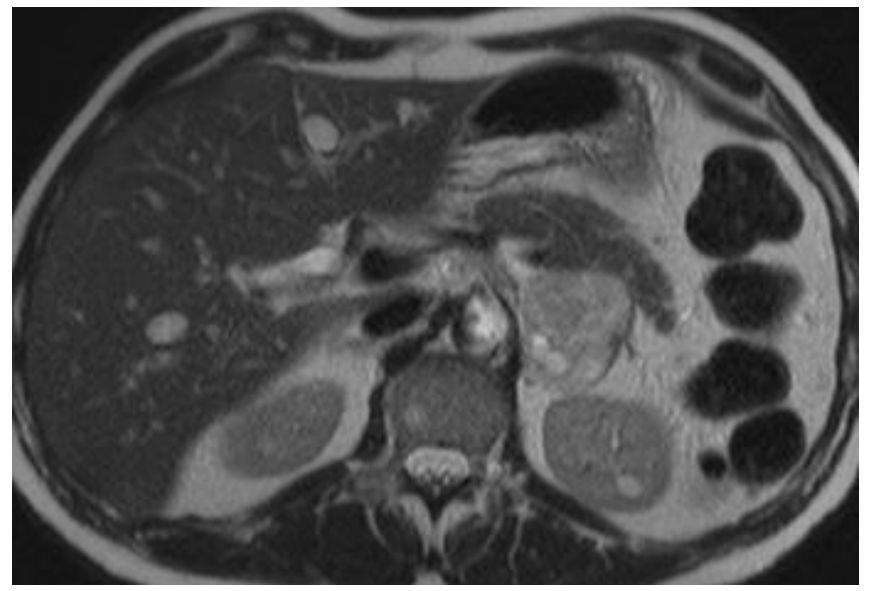
TDM:

- pas contre-indiquée
 utilisation de produit de contraste non ionique
 - masse bien limitée
 - > 2 cm
- hypervascularisée mais cinétique de rehaussement parfois similaire à l'adénome
- souvent nécrose tumorale aspect kystique
 - contenu lipidique rare
 - 10 % calcifications

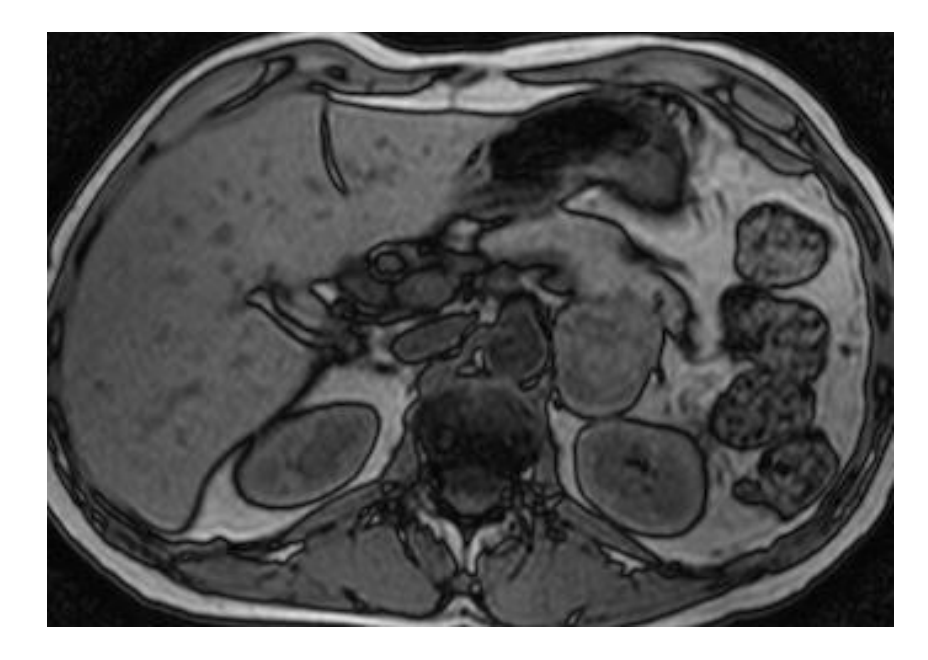
IRM:

- hypersignal marqué en pondération T2 (70 %)

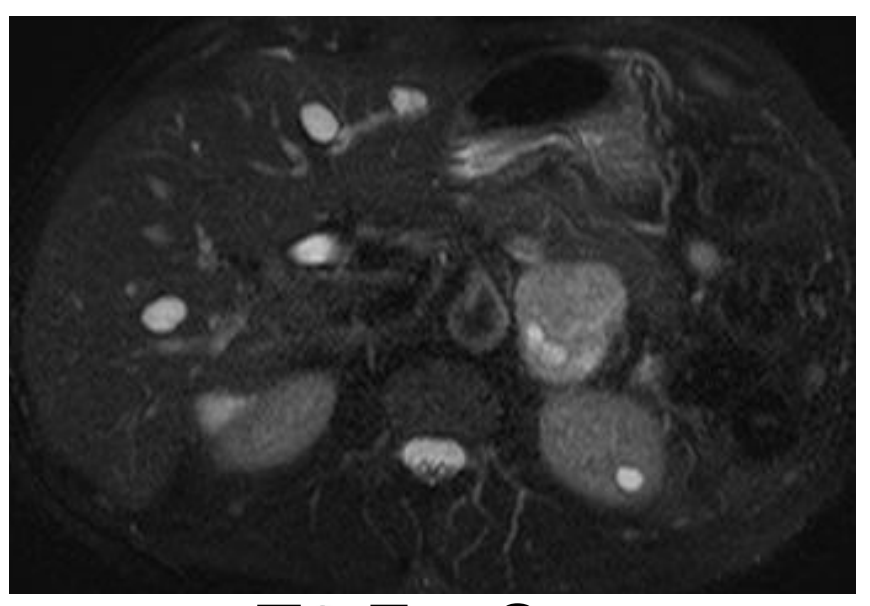




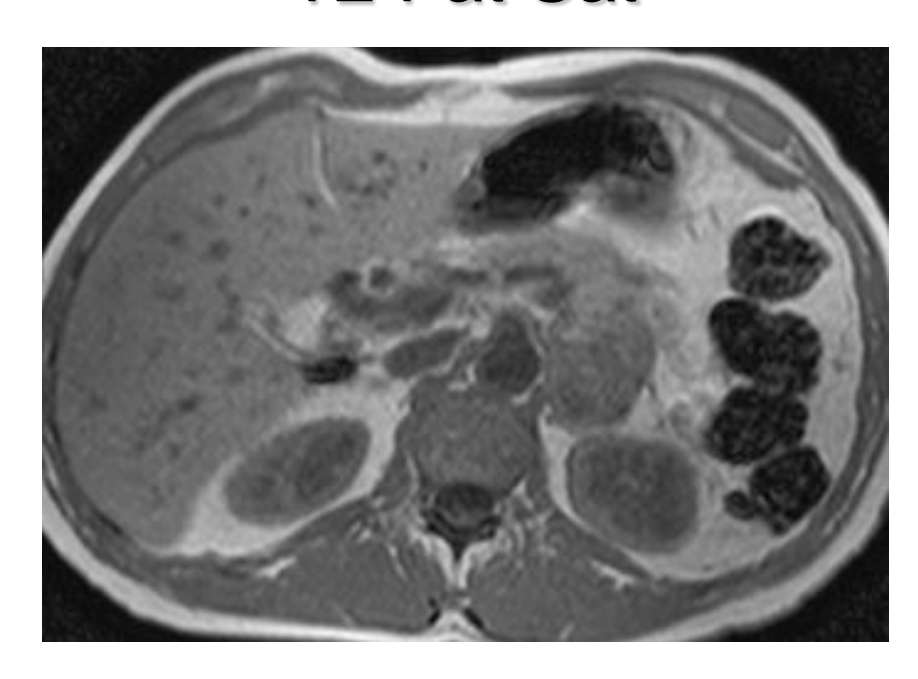
T2



T1 opposition de phase



T2 Fat Sat



T1 phase



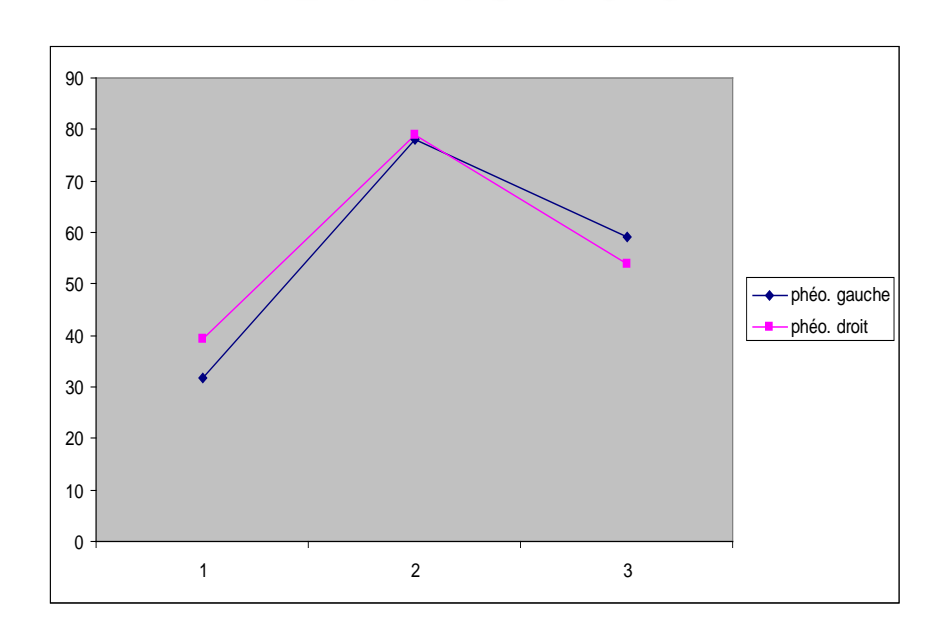
TDM SC



TDM AC 600 s



TDM AC 70 s



Cortex surrénalien

1. Syndrome de Cushing

- hypersécrétion de glucocorticoïdes
 - 80 % ACTH-dépendants
 - hypersécrétion hypothalamo-hypophysaire sécrétion ectopique d'ACTH (cancer anaplasique pulmonaire, carcinoïde,...)
 - élargissement éventuellement plurinodulaire des surrénales
 - 30 % normales
 - 15 25 % primaires
- masse surrénalienne > 2 cm hypotrophie de la surrénale controlatérale

2. Hyperaldostéronisme primaire (syndrome de Conn)

- 80 % adénome surrénalien
 - difficile à détecter
 - 80 % < 2 cm
 - 20 % < 1 cm
- 20 % hyperplasie surrénalienne
 - normale
- épaississement modéré et contours convexes des branches des surrénales
 - un ou plusieurs nodules sur des branches d'aspect normal ou hyperplasique



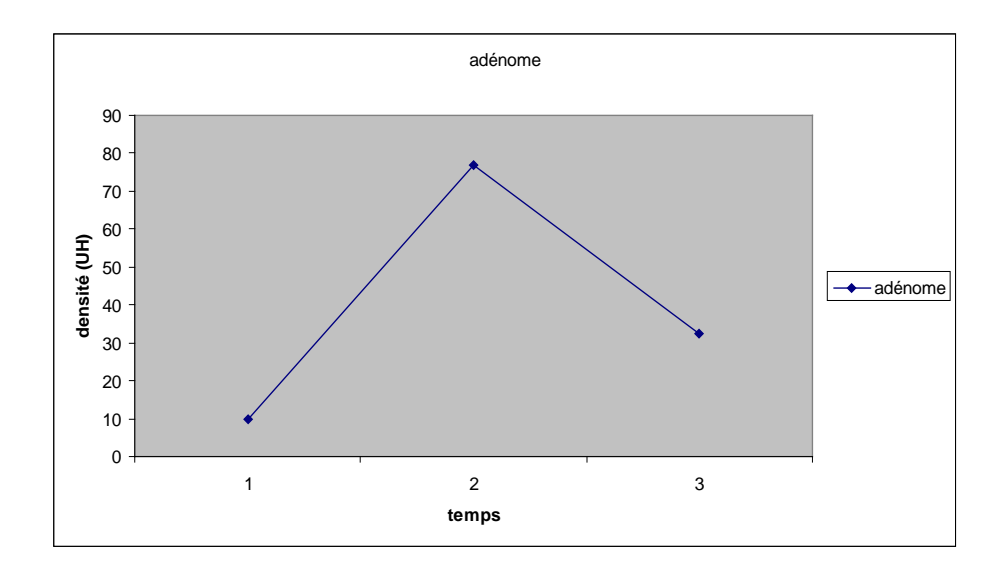
TDM SC



TDM AC 70 s



TDM AC 600 s



si TDM négative

recherche d'un gradient de concentration d'aldostérone entre les deux surrénales par cathétérisme sélectif des veines surrénaliennes

- adénome: sécrétion latéralisée d'un côté
 - hyperplasie: sécrétion bilatérale

limite: échec du cathétérisme de la veine surrénalienne droite (10-15 %) des prélèvements sélectifs (20-25 %)